

บทที่ 4

ผลและวิจารณ์ผลการทดลอง

4.1 วัตถุดิน

ความชื้นของดอกอัญชันลดลงผลดังตารางที่ 4.1

ตารางที่ 4.1 ความชื้นของดอกอัญชันสดและแห้ง

	ความชื้น* (%)
ดอกอัญชันสด	88.7
ดอกอัญชันแห้ง	10.3

หมายเหตุ

* ค่าเฉลี่ยจากการทำส่องซึ่ง

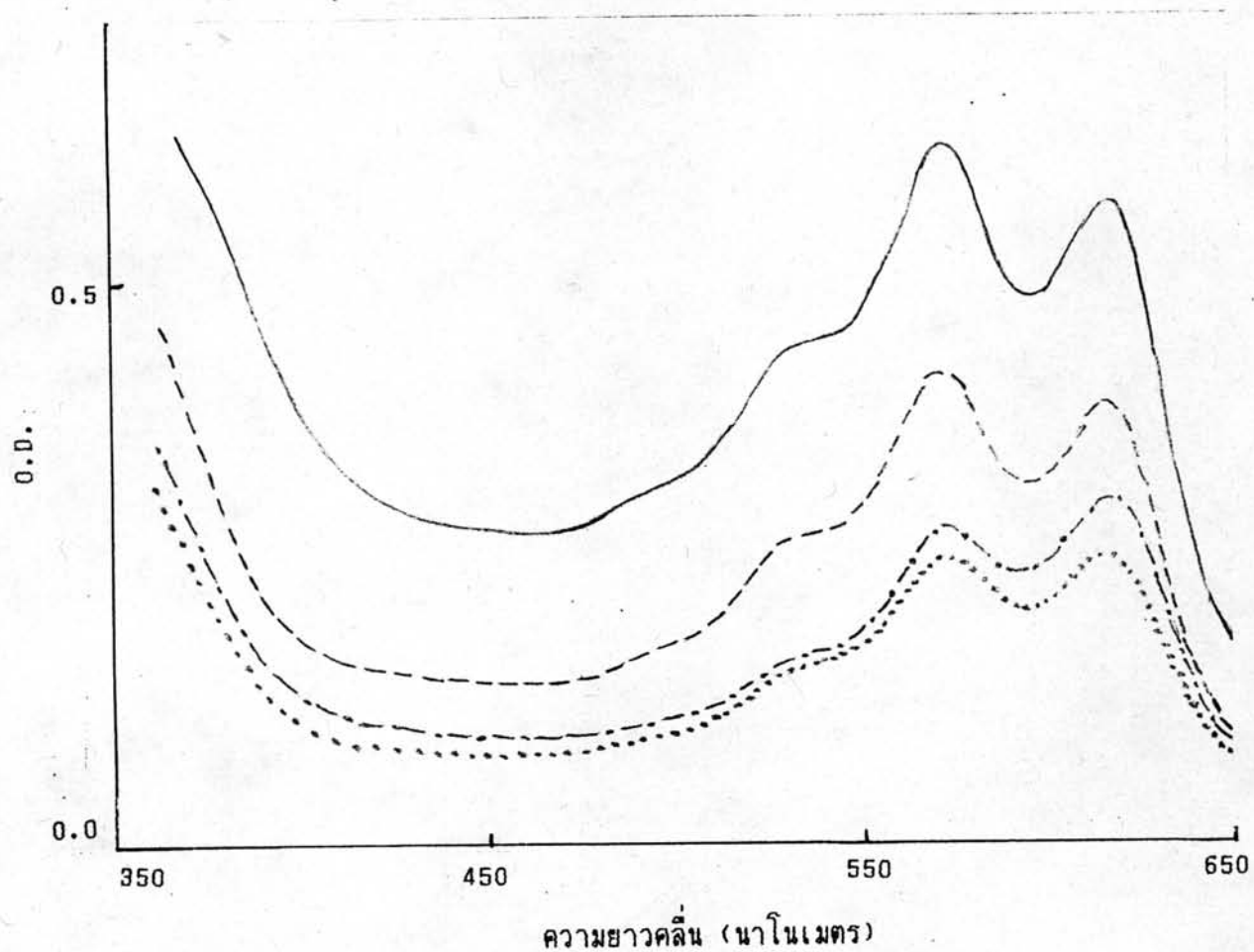
การทดสอบ polyphenol oxidase activity

เนื่องจากเอนไซม์ polyphenol oxidase (PPO) มีผลต่อการสลายตัวของเอนไซม์ไซานินส์ แต่จากการทดสอบ PPO activity ของกลีบดอกอัญชัน พบว่าให้ผล negative และคงไม่สามารถตรวจพบเอนไซม์ PPO ในกลีบดอกอัญชัน ดังนี้ในการศึกษาเสถียรภาพของสารสลายลักษณ์เอนไซม์ไซานินส์จึงไม่ต้องคำนึงผลของเอนไซม์ชนิดนี้

4.2 ศึกษาภาวะที่เหมาะสมในการสกัดแอนโซไซยาโนน์จากคอกอัญชัน

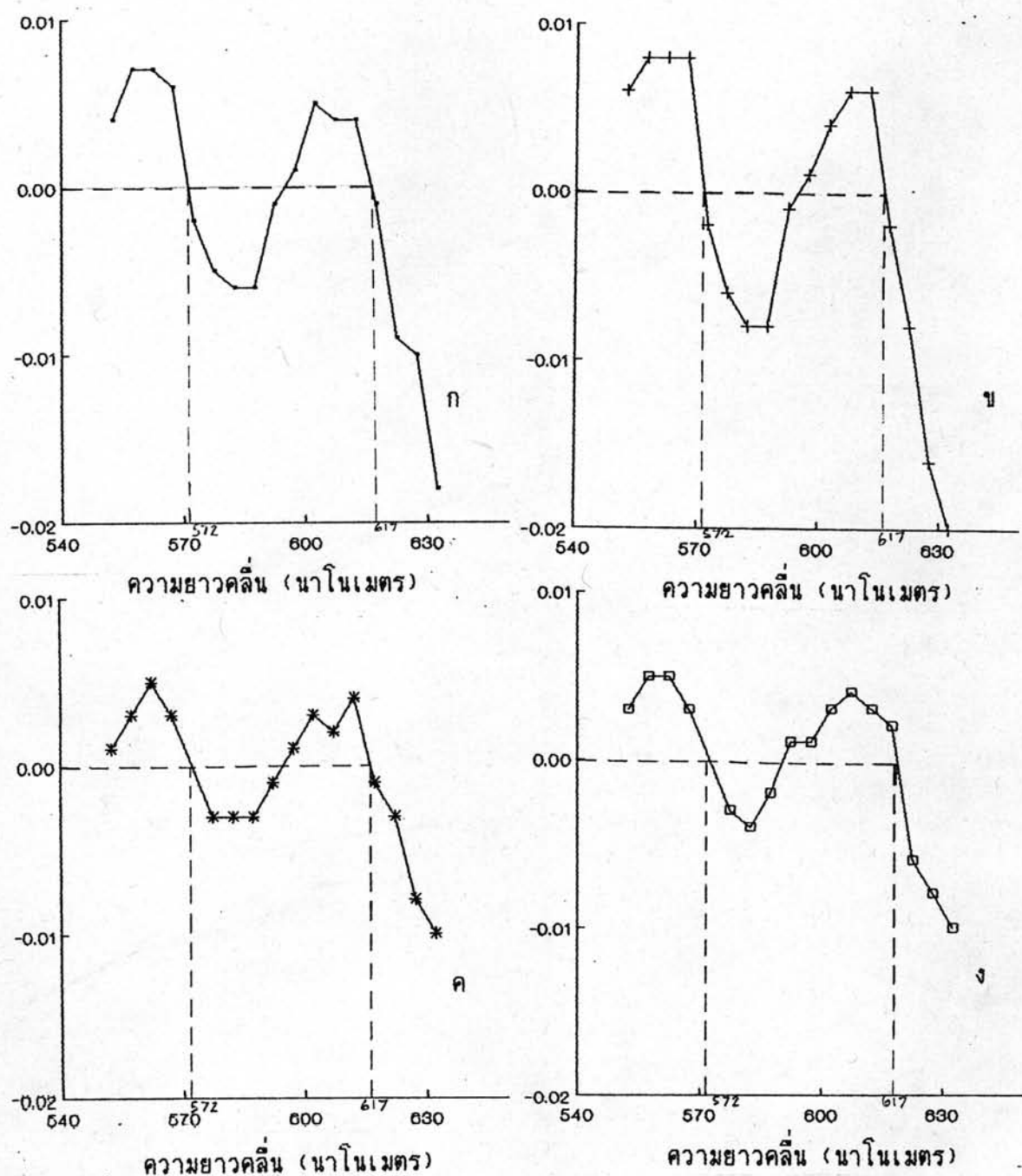
4.2.1 การสกัดแอนโซไซยาโนน์จากคอกอัญชันเพื่อศึกษา absorption spectrum ของสารละลายสกัดคอกอัญชัน

เมื่อใช้สารละลายกรด HCl pH 4.2 เป็นตัวทำละลายในการสกัดพบว่าสารละลายสกัดคอกอัญชันสดและแห้งมีสีม่วงน้ำเงิน และมี pH เท่ากับ 4.2 โดย absorption spectrum ของสารละลายสกัดทั้งสองชนิดมีลักษณะ pattern เช่นเดียวกัน ตั้งแต่คงในรูปที่ 4.1 โดย spectrum ที่ได้มี 2 peaks เมื่อทำ first derivative พบว่า peak ตั้งกล่าวมีความยาวคลื่น 617 และ 572 นาโนเมตร (รูปที่ 4.2) และที่ความยาวคลื่น 572 นาโนเมตร ให้ค่าการคุณภาพลินแสงสูงสุด เมื่อใช้น้ำกислот pH 6.2 เป็นตัวทำละลายในการสกัดซึ่งมี pH สูงกว่าสารละลายกรด HCl พบว่าสารละลายสกัดคอกอัญชันสดและแห้งมีสีน้ำเงิน และมี pH เท่ากับ 6.2 โดย absorption spectrum ที่ได้มีลักษณะคงเดิม และเมื่อทำ first derivative พบว่าความยาวคลื่นที่ให้ค่าการคุณภาพลินแสงสูงสุดเป็น 617 นาโนเมตร (รูปที่ 4.1 และ 4.2) ทั้งนี้เนื่องจาก pH ของตัวทำละลายในการสกัดมีผลต่อสมดุลของแอนโซไซยาโนน์ (Brouillard, 1982) โดยที่เมื่อ pH ของตัวทำละลายสูงขึ้น แอนโซไซยาโนน์จะเปลี่ยน form จาก flavylium cation ที่มีสีแดงเป็น quinoidal anhydrobase ที่มีสีน้ำเงิน ทำให้ค่าการคุณภาพลินแสงอันเนื่องจาก flavylium cation ลดลง ดังนั้นค่าการคุณภาพลินแสงที่ความยาวคลื่น 572 นาโนเมตร จึงลดลง



- สารละลายน้ำสกัดจากอัญชันแห้ง pH 4.2
- - - สารละลายน้ำสกัดจากอัญชันสด pH 4.2
- · - สารละลายน้ำสกัดจากอัญชันสด pH 6.2
- สารละลายน้ำสกัดจากอัญชันแห้ง pH 6.2

รูปที่ 4.1 Absorption spectrum ของสารละลายน้ำสกัดและโซไซเดียมสี



ก. สารละลายน้ำสกัดออกอัญชันสด pH 4.2

ข. สารละลายน้ำสกัดออกอัญชันแห้ง pH 4.2

ค. สารละลายน้ำสกัดออกอัญชันแห้ง pH 6.2

ง. สารละลายน้ำสกัดออกอัญชันสด pH 6.2

รูปที่ 4.2 First derivative ของเส้นกราฟจากรูปที่ 4.1

ปริมาณแอนโซไซยาโนส์ (dry basis) ที่สกัดได้จากคอกอัญชันสดและแห้งซึ่งมีความชื้นร้อยละ 88.7 และ 10.3 ตามลำดับ แสดงต่อตารางที่ 4.2

ตารางที่ 4.2 ปริมาณแอนโซไซยาโนส์ (dry basis) ในคอกอัญชันสดและแห้ง

ตัวทำละลาย	pH	ปริมาณแอนโซไซยาโนส์ที่สกัดได้*	(มิลลิกรัมแอนโซไซยาโนส์ต่อกรัมคอกอัญชัน)
		คอกอัญชันสด	คอกอัญชันแห้ง
น้ำกลั่น	6.2	16.71±0.35	15.19±0.33
สารละลายกรด HCl	4.2	16.96±0.34	15.98±0.44

* วัดค่าการคงคลินแสงที่ความยาวคลื่น 572 นาโนเมตร สำหรับตัวอย่างที่ใช้สารละลายกรด HCl เป็นตัวทำละลายในการสกัด และที่ความยาวคลื่น 617 นาโนเมตร สำหรับตัวอย่างที่ใช้น้ำกลั่นเป็นตัวทำละลายในการสกัด

เมื่อวิเคราะห์ข้อมูลทางสถิติพบว่าปริมาณแอนโซไซยาโนส์ (dry basis) ที่สกัดได้จากคอกอัญชันสดมีค่าสูงกว่าที่สกัดได้จากคอกอัญชันแห้งทั้งในตัวทำละลายที่เป็นน้ำกลั่น และสารละลายกรด HCl อย่างมีนัยสำคัญทางสถิติที่ระดับความเชื่อมั่นร้อยละ 95 (ตารางที่ 4.3 และ 4.4) ทั้งนี้เนื่องจากแสงแผลมีผลต่อการสลายตัวของแอนโซไซยาโนส์ ทำให้ปริมาณแอนโซไซยาโนส์ในคอกอัญชันแห้งลดลง

ตารางที่ 4.3 การวิเคราะห์ความแปรปรวนการสกัดแยกไฮยาซินส์เมื่อใช้น้ำกลันเป็นตัวทำละลายในการสกัด

Source of variance	df	MS
ชนิดคอกอัญชัน	1	3.466*
Error	4	0.115

ตารางที่ 4.4 การวิเคราะห์ความแปรปรวนการสกัดแยกไฮยาซินส์เมื่อใช้สารละลายน้ำ HCl เป็นตัวทำละลายในการสกัด

Source of variance	df	MS
ชนิดคอกอัญชัน	1	1.431*
Error	4	0.153

ถึงแม้ปริมาณแยกไฮยาซินส์ที่สกัดได้จากคอกอัญชันแห้งมีค่าต่ำกว่าที่สกัดได้จากคอกอัญชันสดอย่างมั่นยำคัญทางสถิติที่ระดับความเชื่อมั่นร้อยละ 95 แต่สารละลายสกัดที่ได้จากห้องทดลองคอกอัญชันสดและแห้งให้ absorption spectrum ในลักษณะเดียวกันแห้งในตัวทำละลายที่เป็นน้ำกลันและสารละลายน้ำ HCl และเนื่องจากคอกอัญชันแห้งมีอายุการเก็บนานกว่าและใช้งานได้สะดวก ดังนั้นในการทดลองขึ้นต่อไปจึงเลือกใช้คอกอัญชันแห้งเป็นวัตถุคุณภาพในการทดลอง

4.2.2 ตีกษาผลของ pH ของตัวทำละลายในการสกัด

ปริมาณแอนโซไซยาโนนส์ที่สกัดจากดอกอัญชันแห้งโดยใช้สารละลาย standard buffer (ภาชนะวาก) ในช่วง pH 3.0-5.5 เป็นตัวทำละลายในการสกัดแล้วคงผลในตารางที่ 4.5 และรูปที่ 4.3

ตารางที่ 4.5 ผลของ pH ของตัวทำละลายในการสกัดต่อปริมาณแอนโซไซยาโนนส์ที่สกัดได้

pH	สีของสารละลายสกัด	ปริมาณแอนโซไซยาโนนส์ที่สกัดได้ *
(มิลลิกรัมแอนโซไซยาโนนส์ต่อกรัมดอกอัญชัน)		
3.0	ม่วงน้ำเงิน	8.82 ^a ± 0.37
3.5	ม่วงน้ำเงิน	10.57 ^b ± 0.17
4.0	ม่วงน้ำเงิน	10.97 ^b ± 0.25
4.5	ม่วงน้ำเงิน	11.69 ^b ± 0.15
5.0	ม่วงน้ำเงิน	10.67 ^b ± 0.24
5.5	ม่วงน้ำเงิน	10.64 ^b ± 0.30

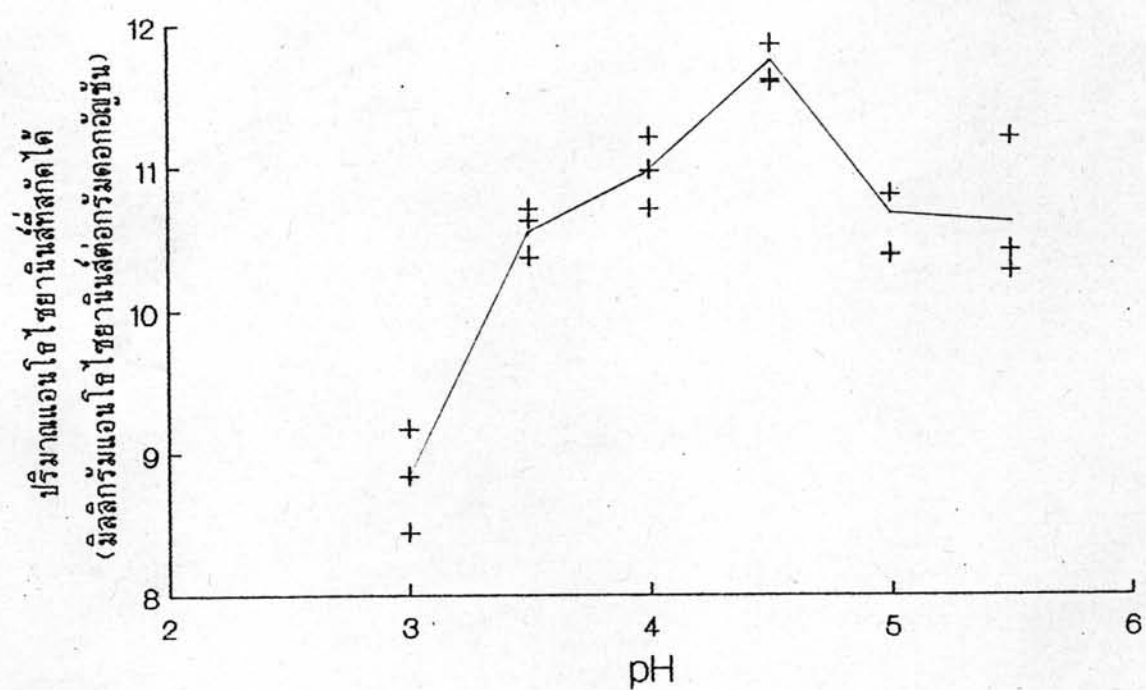
หมายเหตุ

a,b,c ค่าเฉลี่ยที่มีอักษรต่างกันมีความแตกต่างกันอย่างมีนัยสำคัญทางสถิติที่ระดับความเชื่อมั่นร้อยละ 95

* วัดค่าการคุณลักษณะที่ความยาวคลื่น 572 นาโนเมตร

ผลการทดลองแสดงให้เห็นว่า pH ของตัวทำละลายในการสกัดมีผลต่อการสกัดแอนโซไซยาโนนส์จากดอกอัญชันแห้ง โดยปริมาณแอนโซไซยาโนนส์ที่สกัดได้มีความแตกต่างกันอย่างมีนัยสำคัญทางสถิติที่ระดับความเชื่อมั่นร้อยละ 95 (ตารางที่ 4.6) และเมื่อเปรียบเทียบความแตกต่างของค่าเฉลี่ยปริมาณแอนโซไซยาโนนส์ที่สกัดได้โดยวิธี Duncan's New Multiple Range Test พบว่าการใช้สารละลายที่ระดับ pH 4.5 เป็นตัวทำละลายในการสกัดมีประสิทธิภาพการสกัดสูงสุด เมื่อพิจารณาที่ 4.3 พบว่าปริมาณแอนโซไซยาโนนส์ที่สกัดได้จะสูงขึ้นเมื่อระดับ pH ของตัวทำละลายในการสกัดสูงขึ้นจาก pH 3.0 ถึง pH 4.5 และลดลง

เมื่อ pH ของตัวทำละลายในการสกัดสูงกว่า 4.5 โดยผลการทดลองสอดคล้องกับผลงานวิจัยของ Bronnum-Hansen และ Flink (1986) ซึ่งแสดงให้เห็นว่า pH ของตัวทำละลายในการสกัดมีผลต่อปริมาณแอนโซไซยานินส์ที่สกัดได้ โดยใช้สารละลายกรด HCl ในช่วง pH 1.0-3.0 เป็นตัวทำละลายในการสกัดแอนโซไซยานินส์จากผล elderberry และพบว่าการใช้สารละลายกรด HCl ที่ระดับ pH 1.5 เป็นตัวทำละลายในการสกัดมีประสิทธิภาพการสกัดสูงสุด และเมื่อ pH ของตัวทำละลายในการสกัดสูงหรือต่ำกว่า 1.5 ปริมาณแอนโซไซยานินส์ที่สกัดได้จะลดลง

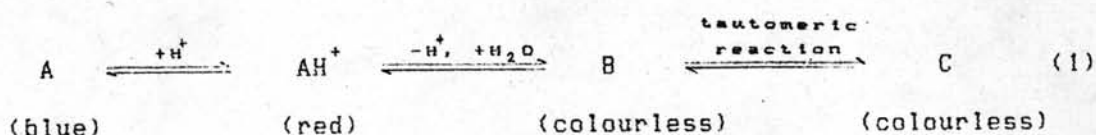


รูปที่ 4.3 ผลของ pH ของตัวทำละลายในการสกัดต่อปริมาณแอนโซไซยานินส์ที่สกัดได้

ตารางที่ 4.6 การวิเคราะห์ความแปรปรวนผลของ pH ของตัวทำละลายในการสกัด

Source of variance	df	MS
pH	5	2.70*
Error	12	9.31x10 ⁻²

การที่ pH ของสารละลายมีผลต่อการสกัดแอนโซไซยานินส์ สามารถอธิบายโดยอาศัยผลงานวิจัยของ Brouillard และ Delaport (1977) ซึ่งพบว่าในภาวะที่สารละลายมีความเป็นกรด (acidic aqueous media) มี pH ในช่วง 1.0 - 6.0 malvidin-3-glucoside จะอยู่ในภาวะสมดุลของ 4 forms คือ flavylum cation (AH^+), quinoidal anhydrobase (A), carbinol pseudobase (B) และ chalcone (C) ดังสมการที่ 1



ในภาวะที่สารละลายมี pH ต่ำ แอนโซไซยานินส์จะอยู่ใน form ของ AH^+ 多于 ใน form ของ A ทำให้สารละลายมีสีแดง แต่เมื่อระดับ pH สูงขึ้น สารละลายจะเปลี่ยนสี เนื่องจากมีการเปลี่ยน form จาก AH^+ ทำให้ความเข้มข้นของ AH^+ ลดลง

ในสารละลาย pH 4.5 แอนโซไซยานินส์จะอยู่ใน form ที่ให้ค่าการดูดกลืนแสงสูงสุดที่ความยาวคลื่น 572 นาโนเมตร แต่เมื่อ pH ของสารละลายต่ำกว่า 4.5 แอนโซไซยานินส์จะเปลี่ยน form ทำให้ค่าการดูดกลืนแสงที่ความยาวคลื่น 572 นาโนเมตรลดลง และเมื่อ pH ของสารละลายสูงกว่า 4.5 จะเกิดการเลื่อน (shift) ของสมดุล เช่นเดียวกัน ทำให้ค่าการดูดกลืนแสงที่ความยาวคลื่น 572 นาโนเมตร ลดลง ดังนั้นปริมาณแอนโซไซยานินส์ ที่คำนวณได้จึงลดลง

ในการทดลองขึ้นต่อไปเลือกใช้สารละลายน้ำ pH 4.5 เป็นตัวทำละลายในการสกัด เนื่องจากเป็นระดับ pH ที่ทำให้ได้ปริมาณแอนโซไซยานินส์ในสารละลายน้ำสูงสุด และสารละลายน้ำสกัดที่ได้มีสีม่วงน้ำเงิน

4.2.3 ศึกษาผลของชนิดตัวทำละลายในการสกัดและเวลาในการสกัด

ผลของการใช้น้ำกลันและสารละลายน้ำที่ระดับ pH 4.5 เป็นตัวทำละลายในการสกัดแอนโซไซยานินส์จากตอกอัมบูรันแห้งที่ระยะเวลา 0-150 นาที แสดงในตารางที่ 4.7 และรูปที่ 4.4

ตารางที่ 4.7 ผลของชนิดตัวทำละลายในการสกัดและเวลาในการสกัดต่อปริมาณแอนโซไซยานินส์ที่สกัดได้

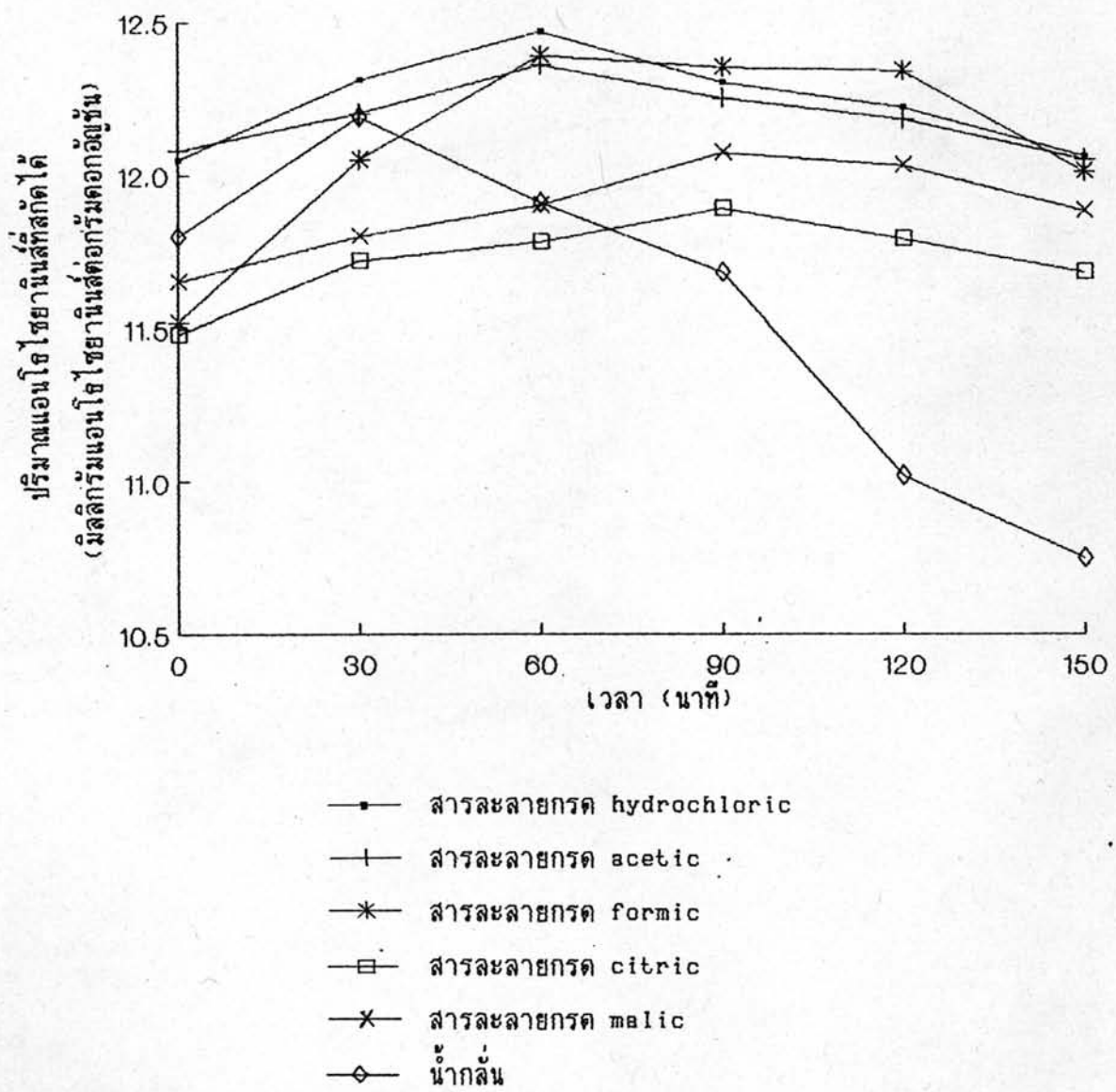
เวลา (นาที)

ปริมาณแอนโซไซยานินส์ที่สกัดได้ (มิลลิกรัมแอนโซไซยานินส์ต่อกรัมตอกอัมบูรัน)

	นำกลัน	สารละลายน้ำ		สารละลายน้ำ		สารละลายน้ำ	
		HCl	CH ₃ COOH	HCOOH	C ₄ H ₆ O ₅	C ₆ H ₈ O ₇	
0	11.80 ^{fgh} _{+0.07}	12.05 ^{cde} _{+0.08}	12.08 ^{cde} _{+0.06}	11.52 ⁱ _{+0.11}	11.48 ^j _{+0.11}	11.65 ^h _{+0.07}	
30	12.19 ^{bcd} _{+0.08}	12.31 ^{ab} _{+0.08}	12.20 ^{bcd} _{+0.14}	12.05 ^{cde} _{+0.11}	11.72 ^{fgh} _{+0.07}	11.80 ^{fgh} _{+0.01}	
60	11.91 ^{ef} _{+0.06}	12.47 ^a _{+0.04}	12.36 ^{ab} _{+0.11}	12.39 ^{ab} _{+0.08}	11.78 ^{fgh} _{+0.09}	11.90 ^{ef} _{+0.14}	
90	11.68 ^{gh} _{+0.11}	12.30 ^{ab} _{+0.08}	12.25 ^{bc} _{+0.14}	12.35 ^{ab} _{+0.08}	11.89 ^{fg} _{+0.07}	12.07 ^{cde} _{+0.07}	
120	11.02 ^j _{+0.17}	12.22 ^{bcd} _{+0.03}	12.18 ^{bcd} _{+0.06}	12.34 ^{ab} _{+0.12}	11.79 ^{fgh} _{+0.05}	12.03 ^{de} _{+0.10}	
150	10.75 ^k _{+0.14}	12.06 ^{cde} _{+0.02}	12.05 ^{cde} _{+0.02}	12.01 ^{de} _{+0.10}	11.68 ^{gh} _{+0.07}	11.88 ^{fg} _{+0.07}	

หมายเหตุ

a,b,c,... ค่าเฉลี่ยที่มีอักษรต่างกันมีความแตกต่างกันอย่างมีนัยสำคัญทางสถิติที่ระดับความเชื่อมั่นร้อยละ 95



รูปที่ 4.4 ผลของชนิดตัวทำละลายในการลักษณะต่อปริมาณแอนโกลิซีนส์ที่หลั่งได้

เมื่อใช้สารละลายกรดแต่ละชนิดเป็นตัวทำละลายในการสกัด พบว่าสารละลายสกัดที่ได้ให้ค่าการดูดกลืนแสงสูงสุดที่ความยาวคลื่น 572 นาโนเมตร และเมื่อวิเคราะห์ข้อมูลทางสถิติ พบว่าทั้งชนิดของตัวทำละลายในการสกัด และ เวลาในการสกัดมีผลต่อปริมาณแอนโซไซยานินส์ที่สกัดได้ โดยปริมาณแอนโซไซยานินส์ที่สกัดได้มีความแตกต่างกันอย่างมีนัยสำคัญทางสถิติที่ระดับความเชื่อมั่นร้อยละ 95 (ตารางที่ 4.8) และเมื่อเปรียบเทียบความแตกต่างของค่าเฉลี่ยปริมาณแอนโซไซยานินส์ที่สกัดได้โดยวิธี Duncan's New Multiple Range Test พบว่าระดับที่ให้ประสิทธิภาพการสกัดสูงสุด คือการใช้สารละลายกรด hydrochloric ที่ระดับ pH 4.5 เป็นตัวทำละลายในการสกัดและใช้เวลาในการสกัด 60 นาที

ตารางที่ 4.8 การวิเคราะห์ความแปรปรวนผลของชนิดของตัวทำละลายในการสกัดและเวลาในการสกัด

Source of variance	df	MS
ตัวทำละลายในการสกัด (A)	5	0.89*
เวลาในการสกัด (B)	5	0.34*
A x B	25	0.13*
Error	36	8.36×10^{-3}

เมื่อวิเคราะห์ข้อมูลด้วยการใช้สมการถดถอยเชิงเส้น จะได้รูปแบบสมการของตัวทำละลายในการสกัดแต่ละชนิด ดังตารางที่ 4.9 จากนั้น differentiate (รีซีฟ) สมการของเส้นกราฟที่ได้ และกำหนดให้สมการมีค่าเท่ากับคุณสมบัติ พบว่าเวลาในการสกัดที่ให้ปริมาณแอนโซไซยานินส์สูงสุดเมื่อใช้น้ำกลั่น สารละลายกรด hydrochloric, acetic, formic, malic และ citric เป็นตัวทำละลายในการสกัด คือ 32.2 72.5 77.5 91.4 105 และ 100 นาที ตามลำดับ และปริมาณแอนโซไซยานินส์ที่สกัดได้เป็น 12.00 12.40 12.32 12.45 11.93 และ 12.02 มิลลิกรัมแอนโซไซยานินส์ต่อกรัมคงอัญชัน ตามลำดับ และเมื่อพิจารณาเกณฑ์การเลือกตัวทำละลายในการสกัดจากปริมาณแอนโซไซยานินส์ที่สกัดได้ เวลาในการสกัด และเสถียรภาพของสารละลายสกัดแอนโซไซยานินส์เมื่อเวลาในการสกัดผ่านไป พบว่าการใช้สารละลายกรด hydrochloric เป็นตัวทำละลายในการสกัด มีประสิทธิภาพสูงสุด ส่วนการใช้น้ำกลั่นเป็นตัวทำละลายในการสกัด พบว่าเมื่อเวลาในการสกัด

นานกว่า 33 นาที เสถียรภาพของแอนโซไซยาโนลจัลคลอเรต์จะลดลงอย่างรวดเร็ว ห้องนี้เนื่องจาก pH ของน้ำกลั่นค่อนข้างเป็นกลาง (pH 6.2) ทำให้แอนโซไซยาโนลเปลี่ยน form จาก flavylium cation ไปอยู่ในรูปอิน (Brouillard, 1982) ทำให้ปริมาณแอนโซไซยาโนลลดลงเมื่อเวลา ในการสกัดนานกว่า 33 นาที

ตารางที่ 4.9 ความสัมพันธ์ระหว่างเวลาในการสกัดกับปริมาณแอนโซไซยาโนลที่สกัดได้

ตัวทำละลาย	รูปแบบสมการ	R^2
น้ำกลั่น	$y = 11.91 + 0.0058t - 0.00009t^2$	0.93
สารละลายกรด hydrochloric	$y = 12.08 + 0.0087t - 0.00006t^2$	0.87
สารละลายกรด acetic	$y = 12.08 + 0.0062t - 0.00004t^2$	0.89
สารละลายกรด formic	$y = 11.54 + 0.0201t - 0.00011t^2$	0.98
สารละลายกรด malic	$y = 11.49 + 0.0084t - 0.00004t^2$	0.96
สารละลายกรด citric	$y = 11.62 + 0.0080t - 0.00004t^2$	0.92

เนื่องจากสารละลายที่ใช้เป็นตัวทำละลายในการสกัดมี pH 4.5 เท่ากัน จำนวนโปรตอน (H^+) ในสารละลายจึงควรเท่ากัน ดังนั้นประสิทธิภาพการสกัดจึงขึ้นกับความมีข้ามของตัวทำละลายในการสกัด เมื่อเปรียบเทียบความแรงของสารละลายกรดห้อง 5 ชนิด พบว่าสารละลายกรด hydrochloric มี polarity สูงสุด (Willard, Merritt และ Dean, 1958) ดังนั้นจึงมีประสิทธิภาพการสกัดสูงสุด ส่วนการใช้สารละลายกรดอินทรีย์ เป็นตัวทำละลายในการสกัด เมื่อพิจารณาเวลาในการสกัดและเสถียรภาพของสารละลายสกัด แอนโซไซยาโนลเมื่อเวลาในการสกัดผ่านไป พบว่าการใช้สารละลายกรด acetic มีประสิทธิภาพ การสกัดสูงสุด โดยให้ผลเช่นเดียวกับผลงานวิจัยของ Metivier และคณะ (1980) ซึ่งศึกษา ชนิดของตัวทำละลายในการสกัดที่มีผลต่อการสกัดแอนโซไซยาโนลจากกา哥อุ่นที่เหลือจากการทำไวน์ โดยพบว่าการใช้สารละลายกรด acetic มีประสิทธิภาพการสกัดสูงสุด ถึงแม้ว่าการใช้ สารละลายกรด formic เป็นตัวทำละลายในการสกัดจะให้ปริมาณแอนโซไซยาโนลสูงสุดสูงกว่า การใช้สารละลายกรด acetic เป็นตัวทำละลายในการสกัด แต่เมื่อพิจารณาเวลาในการสกัด ที่ให้ปริมาณแอนโซไซยาโนลสูงสุด และเสถียรภาพของสารละลายสกัดแอนโซไซยาโนลเมื่อเวลาใน

การสกัดผ่านไป พนวจการใช้สารละลายน้ำ formic เป็นตัวทำลายในการสกัดมีประสิทธิภาพ การสกัดมากกว่าการใช้สารละลายน้ำ acetic

ดังนั้นงานทดลองในขั้นต่อไปจะใช้สารละลายน้ำ hydrochloric ที่ pH 4.5 เป็นตัวทำลายในการสกัด และใช้เวลาในการสกัด 73 นาที

4.2.4 ศึกษาผลของอัตราส่วนระหว่างตัวทำลายในการสกัดกับปริมาณตอกอัญชันร่วมกับการเขย่าในระหว่างการสกัด

ผลของอัตราส่วนระหว่างตัวทำลายในการสกัดกับปริมาณตอกอัญชันร่วมกับการเขย่าในระหว่างการสกัดที่มีต่อปริมาณแอนโซไซยานินส์ที่สกัดได้ โดยใช้สารละลายน้ำ hydrochloric ที่ pH 4.5 เป็นตัวทำลายในการสกัด และใช้เวลาในการสกัด 73 นาที แสดงดังตารางที่ 4.10

ตารางที่ 4.10 ผลของอัตราส่วนระหว่างตัวทำลายในการสกัดกับปริมาณตอกอัญชันร่วมกับการเขย่าในระหว่างการสกัดที่มีต่อปริมาณแอนโซไซยานินส์ที่สกัดได้

อัตราส่วนระหว่างตัวทำลายกับตัวตอก	ปริมาณแอนโซไซยานินส์ที่สกัดได้ (มิลิกรัมแอนโซไซยานินส์ตอกรัมตอกอัญชัน)			
	ในสารละลายน้ำ	ในแก๊ส	เขย่า	ไม่เขย่า
120:5	13.08 ^a ± 0.01	11.42 ^b ± 0.06	1.09	1.12
120:4	13.11 ^a ± 0.01	12.17 ^b ± 0.11	0.94	0.87
120:3	14.29 ^a ± 0.03	13.16 ^a ± 0.10	0.75	0.69
120:2	13.43 ^a ± 0.03	12.88 ^b ± 0.07	0.58	0.50
120:1	13.23 ^a ± 0.08	12.85 ^b ± 0.03	0.40	0.35

หมายเหตุ

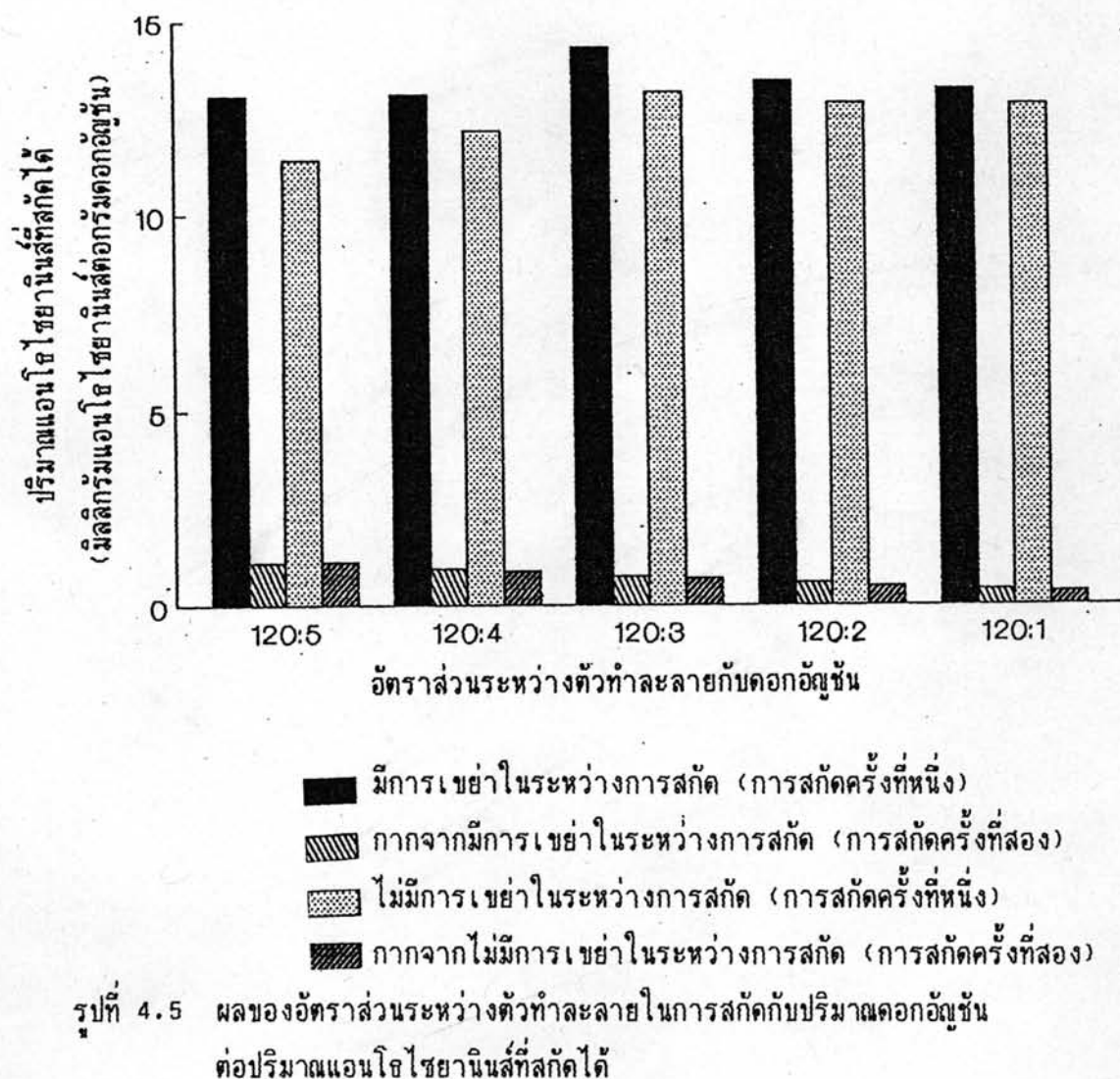
a,b,c,... ค่าเฉลี่ยที่มีอักษรต่างกันมีความแตกต่างกันอย่างมีนัยสำคัญทางสถิติที่ระดับความเชื่อมั่นร้อยละ 95

* ไม่มีการเปรียบเทียบค่าเฉลี่ยทางสถิติ

ผลการทดลองแสดงให้เห็นว่า ทั้งอัตราส่วนระหว่างตัวทำลายภายใน การสกัดกับปริมาณดอกอัญชัน และการเขย่ามีผลต่อปริมาณแอนโซไซยาโนนล์ที่สกัดได้ โดยปริมาณ แอนโซไซยาโนนล์ที่สกัดได้มีความแตกต่างกันอย่างมีนัยสำคัญทางสถิติที่ระดับความเชื่อมั่นร้อยละ 95 (ตารางที่ 4.11) และเมื่อเปรียบเทียบความแตกต่างของค่าเฉลี่ยปริมาณแอนโซไซยาโนนล์ที่สกัด ได้โดยวิธี Duncan's New Multiple Range Test พบว่าระดับที่ให้ประสิทธิภาพการสกัดสูงสุด คืออัตราส่วนระหว่างตัวทำลายในการสกัดกับปริมาณดอกอัญชันเท่ากับ 120:3 และมีการเขย่า ในระหว่างการสกัด ทั้งนี้เนื่องจากการเขย่าเป็นการเพิ่มการสัมผัสระหว่างตัวทำลายและวัตถุคุน ทำให้อัตราการแตกเปลี่ยนมวลสารเกิดได้ดีขึ้น

จากตารางที่ 4.10 และรูปที่ 4.5 จะพบว่าปริมาณแอนโซไซยาโนนล์ที่สกัดได้มีการเขย่าในระหว่างการสกัดมีค่าสูงกว่าเมื่อไม่มีการเขย่าในระหว่างการสกัดทั้ง ๆ อัตราส่วน และทั้งอัตราส่วนระหว่างตัวทำลายในการสกัดกับปริมาณดอกอัญชันเท่ากับ 120:3 จะได้ปริมาณแอนโซไซยาโนนล์สูงสุด แต่เมื่ออัตราส่วนระหว่างตัวทำลายในการสกัดกับปริมาณ ดอกอัญชันเป็น 120:4 และ 120:5 จะพบว่าปริมาณแอนโซไซยาโนนล์ที่สกัดได้ลดลง ซึ่ง เป็นผลจากปริมาณดอกอัญชันที่เพิ่มขึ้นทำให้ตัวทำลายในการสกัดมีปริมาณไม่เพียงพอในการสกัด แอนโซไซยาโนนล์ออกได้หมด โดยผลสอดคล้องกับผลการวิเคราะห์ปริมาณแอนโซไซยาโนนล์ในกา ที่ได้จากการสกัดครั้งแรก (ตารางที่ 4.10) ซึ่งพบว่าปริมาณแอนโซไซยาโนนล์ในกาจะเพิ่มขึ้น เมื่ออัตราส่วนระหว่างตัวทำลายในการสกัดกับปริมาณดอกอัญชันเพิ่มจาก 120:3 เป็น 120:4 และ 120:5 การสกัดแอนโซไซยาโนนล์จากดอกอัญชันควรสกัดหนึ่งครั้ง เนื่องจากปริมาณ แอนโซไซยาโนนล์ที่สกัดได้จากปริมาณที่เหลือในกาจะมีค่าต่ำกว่าการสกัดครั้งแรกมาก (รูปที่ 4.5) โดยเฉลี่ยแล้วการสกัดครั้งแรกจะให้ปริมาณแอนโซไซยาโนนล์ประมาณร้อยละ 90 ตารางที่ 4.11 การวิเคราะห์ความแปรปรวนของอัตราส่วนระหว่างตัวทำลายในการสกัดกับ ปริมาณดอกอัญชันร่วมกับการเขย่าในระหว่างการสกัด

Source of variance	df	MS
อัตราส่วนระหว่างตัวทำลายกับดอกอัญชัน (A)	4	1.24*
การเขย่า (B)	1	4.35*
A x B	4	0.25*
Error	10	4.03×10^{-3}

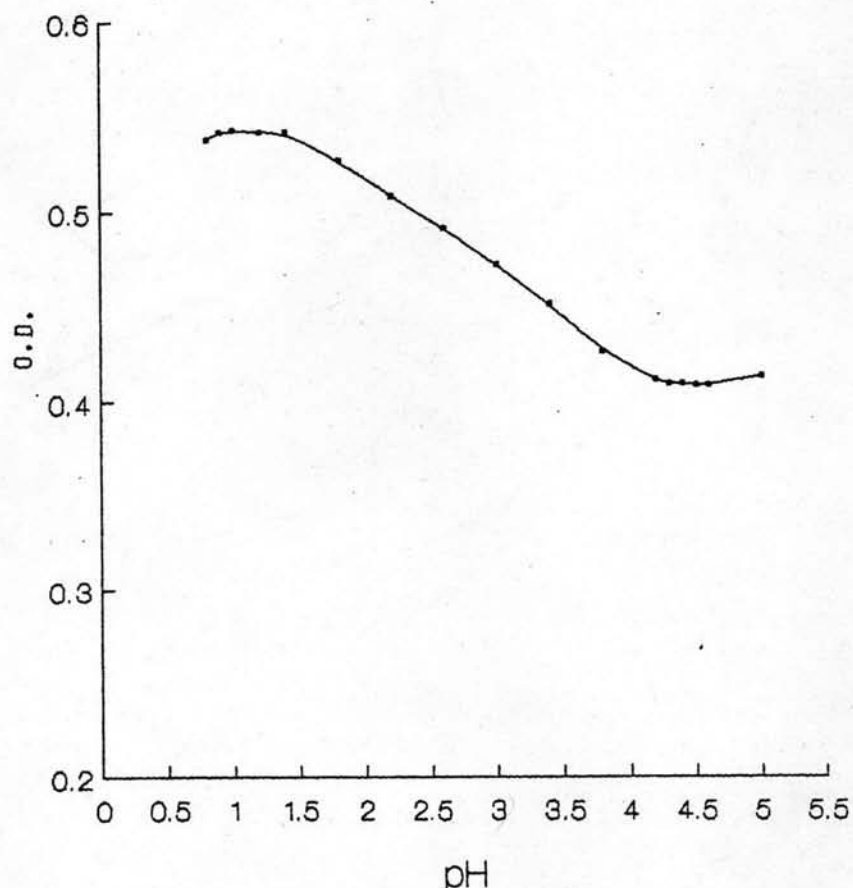


ดังนั้นในการทดลองขึ้นต่อไปใช้ภาวะในการสกัดดังนี้ ใช้สารละลายนคร hydrochloric pH 4.5 เป็นตัวทำละลายในการสกัด โดยมีอัตราส่วนระหว่างตัวทำละลายในการสกัดกับปริมาณดอกอัญชันเท่ากัน 120:3 ใช้เวลาในการสกัด 73 นาที และมีการเขย่าในระหว่างการสกัด

4.3 ศึกษาเสถียรภาพของสารละลายน้ำกลั่นโซไซเดียม

4.3.1 การเตรียมสารละลายน้ำกลั่นโซไซเดียม

พิจารณาเลือกระดับ pH สำหรับวิเคราะห์ปริมาณแอนโซไซเดียมในสารละลายน้ำกลั่นด้วยวิธี pH differential ตามวิธีของ Fuleki และ Francis (1968b) จากข้อมูลความล้มเหลวระหว่างค่าการคุณลักษณะของสารละลายน้ำกลั่นโซไซเดียมที่ความยาวคลื่น 543 นาโนเมตร ในสารละลายน้ำเฟอร์ฟิลช่วง pH 0.8-5.0 ซึ่งแสดงดังรูปที่ 4.6



รูปที่ 4.6 ค่าการคุณลักษณะของสารละลายน้ำกลั่นโซไซเดียมที่ความยาวคลื่น 543 นาโนเมตร

ในภาวะที่สารละลายสกัดมีความเป็นกรดสูง (pH 1.0) ความยำคลื่นที่ให้ค่าการคุณภาพสูงสุดจะเปลี่ยนจาก 572 นาโนเมตร เป็น 543 นาโนเมตร แสดงว่ามีการเลือนสมดุลของแอนโซไซยาโนน์ในสารละลายสกัด ทำให้แอนโซไซยาโนน์เปลี่ยน form เป็น *flavylium cation* จากกรณีความล้มเหลวที่ร่วงค่าการคุณภาพสูงของสารละลายสกัด แอนโซไซยาโนน์ที่ช่วง pH 0.8-5.0 พบว่าลดลง pH ที่ควรเลือกใช้สำหรับวิเคราะห์ปริมาณแอนโซไซยาโนน์คือ pH 1.0 และ pH 4.5 ซึ่งเป็นระดับ pH เดียวกันระดับ pH ในผลงานวิจัยของ Fuleki และ Francis (1968b) เนื่องจากค่าการคุณภาพสูงที่ระดับ pH ทั้งสองซึ่งมีค่าสูงสุดและต่ำสุดให้ค่าผลิต่างห่างกันมากที่สุด และค่าการคุณภาพสูงมีการเปลี่ยนแปลงเล็กน้อยเมื่อมีการเปลี่ยนแปลงค่าความเป็นกรดค่ากรด ค่า pH ที่เลือก

เมื่อวิเคราะห์ปริมาณแอนโซไซยาโนน์ในสารละลายสกัดแอนโซไซยาโนน์ ก่อนและหลังการ pasteurization ด้วยวิธี pH differential พบว่าการ pasteurization สารละลายสกัดแอนโซไซยาโนน์ที่อุณหภูมิ 85 องศาเซลเซียส เป็นเวลา 30 วินาที มีผลต่อการสลายตัวของแอนโซไซยาโนน์เล็กน้อย ดังตารางที่ 4.12

ตารางที่ 4.12 ผลการ pasteurization ต่อเสถียรภาพของแอนโซไซยาโนน์

ร้อยละปริมาณแอนโซไซยาโนน์

สารละลายสกัดก่อนการ pasteurization	100.0
สารละลายสกัดหลังการ pasteurization	93.2

4.3.2 ผลของอุณหภูมิในการเก็บสารละลายน้ำกับแอนโซไซยาโนล์

เมื่อนำสารละลายน้ำกับแอนโซไซยาโนล์ที่เก็บที่อุณหภูมิห้องเย็น ($4 \pm 1^{\circ}\text{C}$) และอุณหภูมิห้อง ($30 \pm 1^{\circ}\text{C}$) มาวัดค่าการคุณภาพในช่วงความยาวคลื่น 350 – 700 นาโนเมตร พบว่าความยาวคลื่นที่ให้ค่าการคุณภาพสูงสุดของสารละลายน้ำกับที่ทึบส่องอุณหภูมิการเก็บมีค่าเท่ากัน ที่ความยาวคลื่น 572 นาโนเมตร และมีค่าคงที่ตลอดระยะเวลา 63 วัน ผลการตรวจปริมาณเชื้อยีสต์และราในสารละลายน้ำกับที่ระยะเวลา 28 และ 63 วัน ไม่พบรากурсิญของเชื้อยีสต์และรา ผลการวิเคราะห์ปริมาณแอนโซไซยาโนล์ทั้งหมด (TAcy) ของสารละลายน้ำกับด้วยวิธี pH differential ซึ่งแสดงในรูปของ relative TAcy (%) และแสดงตารางที่ 4.13 – 4.14 ผลการวิเคราะห์ปริมาณสี polymeric (PC) และผลการวิเคราะห์ปริมาณความเข้มของสีทั้งหมด (TCB) และแสดงตารางที่ 4.15 – 4.17

จากการวิเคราะห์ข้อมูลทางสถิติพบว่าในช่วง 21 วันแรก ปริมาณ TAcy ของสารละลายน้ำกับที่เก็บที่อุณหภูมิห้องและอุณหภูมิห้องเย็นไม่มีความแตกต่างกันอย่างมีนัยสำคัญ ทางสถิติที่ระดับความเชื่อมั่นร้อยละ 95 แต่ที่อายุการเก็บ 28 วันขึ้นไป พบว่าอุณหภูมิในการเก็บ มีผลต่อปริมาณ TAcy ในสารละลายน้ำกับ โดยปริมาณ TAcy ในสารละลายน้ำกับที่เก็บที่อุณหภูมิห้องเย็นจะมีอัตราการลดลงมากกว่าในสารละลายน้ำกับที่เก็บที่อุณหภูมิห้อง (ตารางที่ 4.13) และ เมื่อระยะเวลาผ่านไป 63 วัน พบว่าปริมาณ TAcy ในสารละลายน้ำกับลดลงเหลือร้อยละ 59.42 และ 36.59 ตามลำดับ โดยค่าครึ่งชีวิตของสารละลายน้ำกับที่เก็บที่อุณหภูมิห้องเย็นมีค่าประมาณ 81 วัน (อาศัยข้อมูลจากตารางที่ 4.20) ในขณะที่ค่าครึ่งชีวิตของสารละลายน้ำกับที่เก็บที่อุณหภูมิห้อง มีค่าประมาณ 48 วัน (รูปที่ 4.7) ดังนั้นการเก็บสารละลายน้ำกับที่อุณหภูมิห้องเย็นจะทำให้ แอนโซไซยาโนล์มีเสถียรภาพที่ดีกว่าการเก็บสารละลายน้ำกับที่อุณหภูมิห้อง ซึ่งผลการทดลอง เป็นไปในท向ของเดียวกับงานวิจัยของ Palamidis และ Markakis (1975) ที่ศึกษาเสถียรภาพ ของแอนโซไซยาโนล์สกัดจากผลอ่อนและใช้เป็นสิริสมอาหารเติมลงใน carbonated beverage โดยพบว่าการเก็บผลิตภัณฑ์ที่อุณหภูมิทำจะทำให้ปริมาณแอนโซไซยาโนล์สกัดลงน้อยกว่าการเก็บผลิตภัณฑ์ที่อุณหภูมิสูง และปริมาณแอนโซไซยาโนล์สกู๊ดสูง เลือดไปในผลิตภัณฑ์ที่เก็บที่อุณหภูมิ 20 องศาเซลเซียส จะสูงเป็น 2 เท่าของในผลิตภัณฑ์ที่เก็บที่อุณหภูมิ 10 องศาเซลเซียส

ตารางที่ 4.13 ปริมาณ relative TAcy (%) ของสารละลายน้ำในไขยานินส์ระหว่างการเก็บที่อุณหภูมิห้องและอุณหภูมิห้องเย็น

ระยะเวลา (วัน)	อุณหภูมิ	
	$4 \pm 1^{\circ}\text{C}$	$30 \pm 1^{\circ}\text{C}$
0 ^{**}	100 ^{±0}	100 ^{±0}
7 ^{**}	92.72 ^{±1.04}	90.57 ^{±0.71}
14 ^{**}	85.49 ^{±1.07}	83.49 ^{±4.74}
21 ^{**}	80.26 ^{±1.64}	79.85 ^{±1.52}
28	77.87 ^{a±1.02}	70.49 ^{b±1.05}
35	70.15 ^{a±1.81}	61.69 ^{b±1.03}
42	67.88 ^{a±0.47}	58.42 ^{b±1.66}
49	66.10 ^{a±1.12}	49.00 ^{b±0.45}
56	62.07 ^{a±1.20}	36.93 ^{b±1.05}
63	59.42 ^{a±1.41}	36.59 ^{b±0.57}

หมายเหตุ

a, b ค่าเฉลี่ยที่มีอักษรต่างกันของข้อมูลในแต่เดียวกันมีความแตกต่างอย่างมีนัยสำคัญทางสถิติที่ระดับความเชื่อมั่นร้อยละ 95

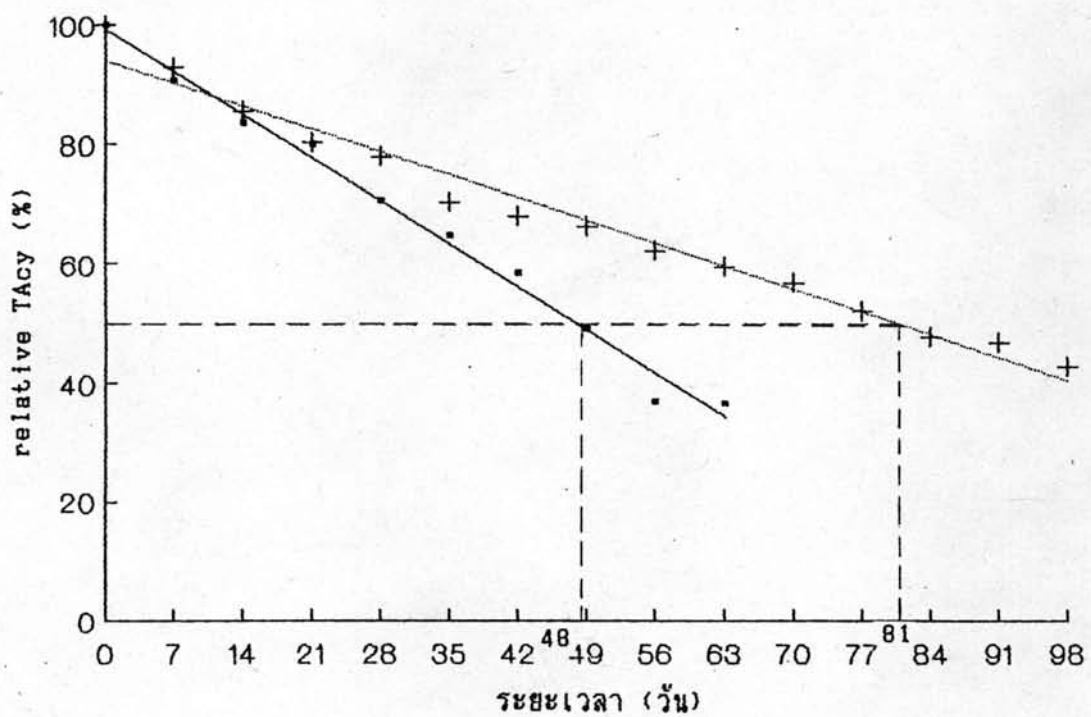
ns ไม่มีความแตกต่างอย่างมีนัยสำคัญทางสถิติที่ระดับความเชื่อมั่นร้อยละ 95

ตารางที่ 4.14 ค่า F จากการวิเคราะห์ความแปรปรวนของ relative TAcy (%) ของสารละลายน้ำกัดแอนโซไซด์รานินส์ระหว่างการเก็บท่อหญามีห้องและอุณหภูมิห้องเย็น

ระยะเวลา (วัน)	ค่า F ของ relative TAcy
0	-
7	5.83
14	0.34
21	6.99
28	50.85*
35	32.96*
42	60.12*
49	402.66*
56	497.93*
63	447.85*

หมายเหตุ

* มีความแตกต่างอย่างมีนัยสำคัญทางสถิติที่ระดับความเชื่อมั่นร้อยละ 95
โดยที่ค่า $F_{0.05, 2, 2}$ จากตาราง = 18.51

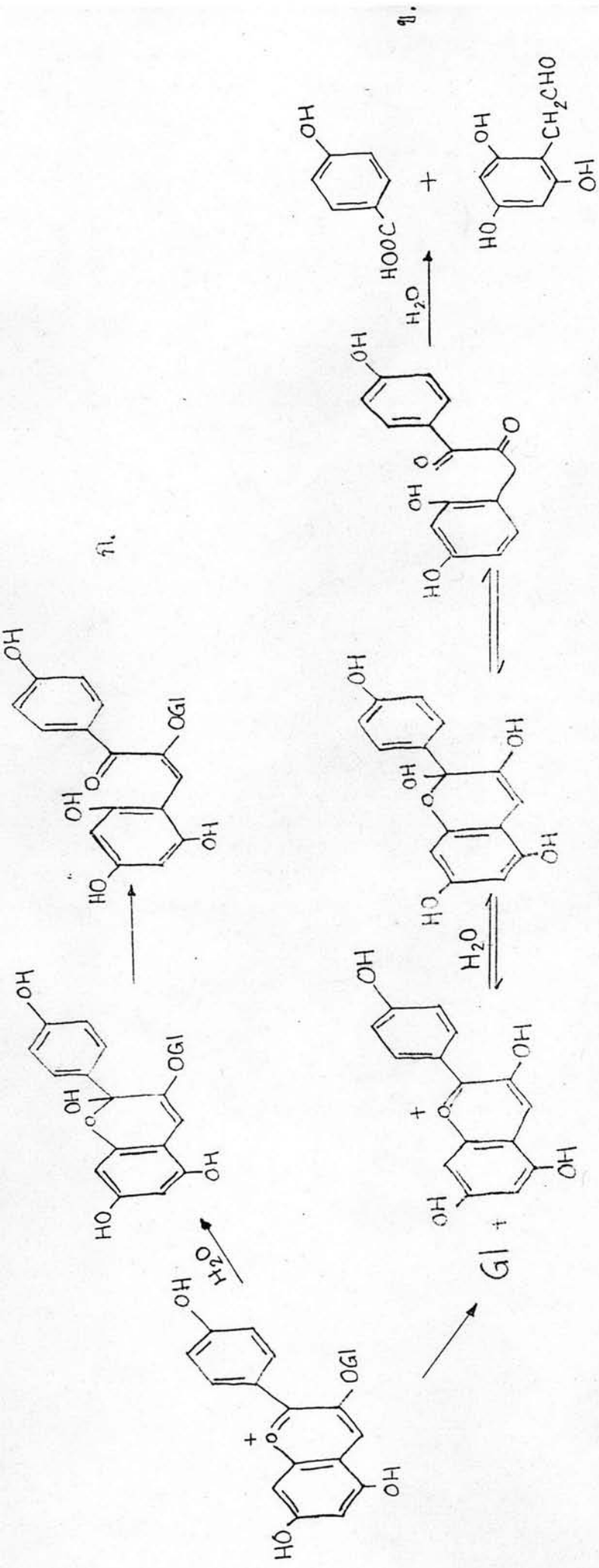


รูปที่ 4.7 ค่าครึ่งชีวิตของแอนโซไไซยานินส์ในสารละลายน้ำ

- อุณหภูมิห้อง
- + อุณหภูมิห้องเย็น

กลไกการสลายตัวของแอนโซไซยาโนนล์เนื่องจากอุณหภูมิยังไม่เป็นที่แน่นชัด กลไกที่สามารถอธิบายได้มีอยู่ 2 กลไก คือ กลไกความแนวความคิดของ Markakis และคณะ (1957) ซึ่งเสนอว่า heterocyclic ring ของ colourless pseudobase จะเปิดออก เป็นที่จะเปลี่ยนเป็น colourless chalcone จากนั้นจะเกิดปฏิกิริยา hydrolysis ที่พันธะ glycosidic ดังรูป 4.8 ก. ส่วนอีกกลไกหนึ่งอธิบายโดย Adams และคณะ (1973) ว่า เมื่อสารละลายแอนโซไซยาโนนล์ที่ช่วง pH 2-4 ได้รับความร้อน จะเกิดปฏิกิริยา hydrolysis ที่พันธะ glycosidic ทำให้ได้แอนโซไซยาโนนล์ จากนั้นจะเปลี่ยนรูปเป็น chalcone ซึ่งในที่สุดจะได้ α -diketone ตามรูป 4.8 ข.

เมื่อรยะเวลาในการเก็บนานขึ้น จะพบว่าปริมาณ PC ในสารละลายสกัด มีค่าเพิ่มขึ้นอย่างมั่นคงสำหรับการสกัดที่ระดับความเข้มน้ำอ้อย 95 (ตารางที่ 4.15 และ 4.17) ในขณะที่ปริมาณ TAcY มีค่าลดลง ทั้งนี้เนื่องจากแอนโซไซยาโนนล์บางส่วนในสารละลายสกัดเกิดปฏิกิริยา polymerization ได้ polymeric pigments ซึ่งปริมาณ polymeric pigments (ดังในรูป PC) ที่เพิ่มขึ้นสามารถวิเคราะห์ได้โดยอาศัยความแตกต่างระหว่างแอนโซไซยาโนนล์ และ polymeric pigments ในการถูกฟอกสีด้วย sulphur dioxide (SO_2) หรือสารประกอบ sulfite โดยที่ polymeric pigments จะไม่ถูกฟอกสีด้วยสารประเทกน์ (Somers, 1971) ตามปกติเมื่อ SO_2 หรือสารประกอบ sulfite ชนิดต่าง ๆ ละลายน้ำจะอยู่ในรูปของกรด sulfurous อิสระ (H_2SO_3) bisulfite ion (HSO_3^-) และ sulfite ion (SO_3^{2-}) ในการทดลองใช้ potassium metabisulfite ($\text{K}_2\text{S}_2\text{O}_5$) ซึ่งเป็นสารประกอบ sulfite ชนิดนึง เป็นสารฟอกสีแอนโซไซยาโนนล์ เมื่อละลาย $\text{K}_2\text{S}_2\text{O}_5$ ในน้ำจะได้ HSO_3^- สองโมเลกุล ($\text{S}_2\text{O}_5^{2-} + \text{H}_2\text{O} \rightarrow 2\text{HSO}_3^-$) ลักษณะแอนโซไซยาโนนล์จะถูกฟอกสีด้วย HSO_3^- (Jurd, 1964; Timberlake และ Bridle, 1967) โดยปฏิกิริยาเกิดจาก HSO_3^- ทำปฏิกิริยา กับแอนโซไซยาโนนล์ในอัตราส่วน 1:1 ปฏิกิริยาที่เกิดขึ้นเป็นแบบ nucleophilic addition เป็นปฏิกิริยาที่ผันกลับได้ โดย HSO_3^- จะเข้าทำปฏิกิริยาที่ carbonyl อนดามันต์ที่ลิขของแอนโซไซยาโนนล์ ได้สารประกอบ chromen-4(or2)-sulfonic acid (รูปที่ 4.9) ซึ่งเป็นสารประกอบที่ไม่มีสี และมีเสถียรภาพดีกว่าแอนโซไซยาโนนล์มาก HSO_3^- จะมีความจำเพาะสูง (high affinity) ในการทำปฏิกิริยากับแอนโซไซยาโนนล์เฉพาะที่อยู่ใน form ของ flavylium cation แต่จะไม่ทำปฏิกิริยากับแอนโซไซยาโนนล์ที่อยู่ใน form ของ chalcone



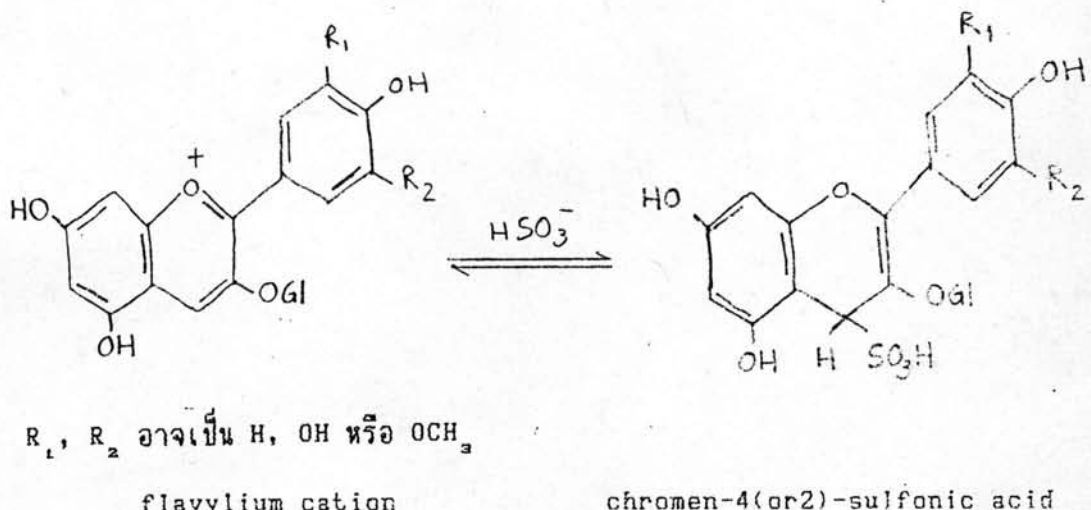
ก. แนวความคิดของ Markakis และคณะ (1957)

ก. แนวความคิดของ Adams (1973)

รูปที่ 4.8 กลไกการสร้างพาราฟาร์บอนในไซยาโนสี

ตารางที่ 4.15 ปริมาณ PC ของสารละลายน้ำกัดแอนโซไซดานินส์ระหว่างการเก็บที่อุณหภูมิห้อง และอุณหภูมิห้องเย็น

ระยะเวลา (วัน)	อุณหภูมิ	
	$4 \pm 1^{\circ}\text{C}$	$30 \pm 1^{\circ}\text{C}$
0	0.313 ± 0.004	0.293 ± 0.004
7	0.320 ± 0.007	0.313 ± 0.004
14	0.330 ± 0.004	0.347 ± 0.004
21	0.339 ± 0.005	0.402 ± 0.004
28	0.341 ± 0.004	0.435 ± 0.001
35	0.351 ± 0.002	0.456 ± 0.001
42	0.352 ± 0.001	0.458 ± 0.001
49	0.353 ± 0.001	0.459 ± 0
56	0.356 ± 0.004	0.461 ± 0.003
63	0.359 ± 0.007	0.465 ± 0.003



รูปที่ 4.9 การฟอกสีแอนโซไซยาโนล์ด้วยสารประกอน sulfite

จากตารางที่ 4.15 พบว่าอุณหภูมิในการเก็บสารละลายสักดีผลต่อการเพิ่มขึ้นของปริมาณ PC ตั้งนั้นอุณหภูมิในการเก็บสารละลายสักดีเหมาะสมควรเป็นอุณหภูมิที่ให้ผลในการชลจากการเพิ่มขึ้นของปริมาณ PC เนื่องจากการเกิดปฏิกิริยา polymerization ทำให้มีการสูญเสียแอนโซไซยาโนล์บางส่วน นอกจากนี้ยังทำให้สารละลายสักดีเสื่อมเส้น จากการทดลองพบว่า ปริมาณ PC ในสารละลายสักดีที่เก็บที่อุณหภูมิห้องเย็นมีแนวโน้มการเพิ่มขึ้นที่ช้ากว่าในสารละลายสักดีที่เก็บที่อุณหภูมิห้อง ซึ่งผลสอดคล้องกับการลดลงของปริมาณ TAcY โดยปริมาณ TAcY ในสารละลายสักดีที่เก็บที่อุณหภูมิห้องเย็นมีแนวโน้มการลดลงที่ช้ากว่าในสารละลายสักดีที่เก็บที่อุณหภูมิห้อง

เมื่อระยะเวลาในการเก็บนานขึ้น จะพบว่าปริมาณ TCD มีค่าลดลงอย่างมีนัยสำคัญทางสถิติที่ระดับความเชื่อมั่นร้อยละ 95 (ตารางที่ 4.16 และ 4.17) เนื่องจากเกิดการสลายตัวของแอนโซไซยาโนล์ในสารละลายสักดี ซึ่งปริมาณ TCD หาได้จากการวัดค่าการดูดกลืนแสงของแอนโซไซยาโนล์ และสารประกอน phenolics อีก ๑ ในสารละลายสักดี (ภาคผนวก) จากตารางที่ 4.16 จะพบว่าอุณหภูมิในการเก็บสารละลายสักดีมีผลต่อการสลายตัวของแอนโซไซยาโนล์ โดยปริมาณ TCD ในสารละลายสักดีที่เก็บที่อุณหภูมิห้องเย็นมีแนวโน้มการลดลงที่ช้ากว่าในสารละลายสักดีที่เก็บที่อุณหภูมิห้อง

ตารางที่ 4.16 ปริมาณ TCD ของสารละลายสักดีแอนโซไซยาโนลร์ยห่วงการเก็บท่อหุ่มห้อง
และอุณหกุมิห้องเย็น

ระยะเวลา (วัน)	อุณหกุมิ	
	$4 \pm 1^{\circ}\text{C}$	$30 \pm 1^{\circ}\text{C}$
0	0.801 ± 0.004	0.810 ± 0.003
7	0.798 ± 0.006	0.810 ± 0.008
14	0.796 ± 0.001	0.793 ± 0.004
21	0.773 ± 0.004	0.776 ± 0.003
28	0.760 ± 0.007	0.760 ± 0.008
35	0.745 ± 0.002	0.743 ± 0.009
42	0.718 ± 0.006	0.690 ± 0.008
49	0.690 ± 0.006	0.541 ± 0.020
56	0.672 ± 0.003	0.474 ± 0.002
63	0.638 ± 0.008	0.461 ± 0.001

ตารางที่ 4.17 ค่า F จากการวิเคราะห์ความแปรปรวนของ TCD และ PC ของสารละลายน้ำกัด
แอนโซไซดานินส์ร์ที่อุณหภูมิห้องและอุณหภูมิห้องเย็น

อุณหภูมิในการเก็บ (°C)	ค่า F	
	TCD	PC
4 \pm 1 °C	259.63*	27.60*
30 \pm 1 °C	542.81*	1494.65*

หมายเหตุ

* มีความแตกต่างอย่างมีนัยสำคัญทางสถิติที่ระดับความเชื่อมั่นร้อยละ 95
โดยที่ค่า $F_{(9,10)}$ จากตาราง = 3.02

4.3.3 ผลของวัตถุเจือปนอาหารในการรักษาเส้นใยรากของแอนโซไซด์ในสารละลายสกัดแอนโซไซด์นานี่

4.3.3.1 ผลของการใช้สาร glutathione ร่วมกับ tartaric acid เมื่อเก็บสารละลายสกัดที่มีการใช้สาร glutathione

ร่วมกับ tartaric acid ซึ่งเป็นวัตถุเจือปนที่อยู่หมู่ห้องเย็น โดยแบ่งปริมาณ glutathione: tartaric acid เป็น 0:0 10:150 10:250 10:400 20:150 20:250 และ 20:400 มิลลิกรัมต่อสารละลายสกัด 100 มิลลิลิตร พบว่าความยาวคลื่นที่ให้ค่าการคุณภาพแสงส่องสารละลายสกัดมีค่าคงที่ตลอดระยะเวลา 98 วัน (ตารางที่ 4. 18) ผลการตรวจปริมาณเชื้อเยื่อและราในสารละลายสกัดที่ระยะเวลา 28 63 และ 98 วัน ไม่พบการเจริญของเชื้อเยื่อและรา ค่า pH ของสารละลายสกัด แสดงดังตารางที่ 4.19 ผลการวิเคราะห์ปริมาณแอนโซไซด์นานี่ทั้งหมด (TAcY) ของสารละลายสกัดคั่วยิ稚 pH differential ซึ่งแสดงในรูปของ relative TAcY (%) แสดงดังตารางที่ 4.20 - 4.23 ผลการวิเคราะห์ปริมาณสี polymeric (PC) และผลการวิเคราะห์ปริมาณความเข้มของสีทั้งหมด (TCB) แสดงดังตารางที่ 4.24 - 4.26

ตารางที่ 4.18 ความยาวคลื่นที่ให้ค่าการดูดกลืนแสงสูงสุดของสารละลายน้ำที่มีการใช้สาร glutathione ร่วมกับ tartaric acid ระหว่างการเก็บที่อุณหภูมิห้องเย็น

ปริมาณ glutathione : tartaric acid λ_{max} (nm)
(มิลลิกรัมต่อสารละลายน้ำ 100 มิลลิลิตร)

0:0	572
10:150	570
10:250	568
10:400	567
20:150	570
20:250	568
20:400	567

ตารางที่ 4.19 pH ของสารละลายน้ำที่มีการใช้สาร glutathione ร่วมกับ tartaric acid ระหว่างการเก็บที่อุณหภูมิห้องเย็น

ปริมาณ glutathione : tartaric acid pH
(มิลลิกรัมต่อสารละลายน้ำ 100 มิลลิลิตร)

0:0	4.94-5.10
10:150	3.17-3.27
10:250	2.88-3.02
10:400	2.70-2.84
20:150	3.11-3.21
20:250	2.88-3.01
20:400	2.73-2.86

จากตารางที่ 4.20 - 4.23 ที่ปริมาณ glutathione

10 และ 20 มิลลิกรัมต่อสารละลายน้ำ 100 มิลลิลิตร พบว่าการใช้สาร glutathione ร่วมกับ tartaric acid เป็นวัตถุเจือปนในสารละลายน้ำ ให้ผลในการชลอการลดลงของปริมาณ TAcy ได้ดีกว่าเมื่อไม่ใช้วัตถุเจือปนอย่างมีนัยสำคัญทางสถิติที่ระดับความเชื่อมั่นร้อยละ 95 และเมื่อพิจารณาการใช้ tartaric acid พบว่าที่ปริมาณ glutathione 10 มิลลิกรัมต่อสารละลายน้ำ 100 มิลลิลิตร การใช้ tartaric acid ในปริมาณ 250 และ 400 มิลลิกรัมต่อสารละลายน้ำ 100 มิลลิลิตร จะให้ผลในการชลอการลดลงของปริมาณ TAcy ได้ดีกว่าการใช้ tartaric acid ในปริมาณ 150 มิลลิกรัมต่อสารละลายน้ำ 100 มิลลิลิตร อย่างมีนัยสำคัญทางสถิติที่ระดับความเชื่อมั่นร้อยละ 95 ส่วนที่ปริมาณ glutathione 20 มิลลิกรัมต่อสารละลายน้ำ 100 มิลลิลิตร การใช้ tartaric acid ในปริมาณ 150 250 และ 400 มิลลิกรัมต่อสารละลายน้ำ 100 มิลลิลิตร จะให้ผลในการชลอการลดลงของปริมาณ TAcy ไม่แตกต่างกัน (รูปที่ 4.10 - 4.11)

การใช้ tartaric acid เป็นวัตถุเจือปนจะทำให้สารละลายน้ำมีความเป็นกรดเพิ่มขึ้นซึ่งจะช่วยเลื่อนสมดุลของแอนโไฮยาаниล์ไปสู่ใน form ของ flavylium cation ทำให้แอนโไฮยาаниล์มีเสถียรภาพที่ดีขึ้น การใช้ tartaric acid ในปริมาณ 250 และ 400 มิลลิกรัมต่อสารละลายน้ำ 100 มิลลิลิตร ทำให้สารละลายน้ำมี pH ต่ำกว่าการใช้ tartaric acid ในปริมาณ 150 มิลลิกรัมต่อสารละลายน้ำ 100 มิลลิลิตร (ตารางที่ 4.19) ดังนั้นการใช้ tartaric acid ในปริมาณสูงจะช่วยชลอการลดลงของปริมาณ TAcy ได้ดีกว่าการใช้ tartaric acid ในปริมาณต่ำ จึงเป็นการช่วยเพิ่มเสถียรภาพของแอนโไฮยาаниล์ แต่การใช้ tartaric acid ในปริมาณสูงมากเกินไปจะเพิ่มการลดลงของปริมาณแอนโไฮยาаниล์ เช่นในงานวิจัยของ Maccarone, Maccarrone และ Rapisarda (1985) ใช้สาร glutathione ร่วมกับ tartaric acid ในปริมาณ 10:150 10:250 และ 10:500 มิลลิกรัมต่อน้ำส้มพันธุ์ "Moro" 100 มิลลิลิตร เพื่อวัตถุประสงค์ในการรักษาเสถียรภาพของแอนโไฮยาаниล์ ผลการทดลองพบว่า ปริมาณวัตถุเจือปนที่เหมาะสมคือใช้ glutathione:tartaric acid ในปริมาณ 10:250 มิลลิกรัมต่อสารละลายน้ำ 100 มิลลิลิตร ซึ่งให้ผลในการชลอการลดลงของปริมาณ TAcy ได้ดีกว่าการใช้วัตถุเจือปนที่ระดับ 10:150 และ 10:500 มิลลิกรัมต่อสารละลายน้ำ 100 มิลลิลิตร โดยที่ค่าครึ่งชีวิตของแอนโไฮยาаниล์ในน้ำส้มมีค่า 82 50 และ 70 วัน ตามลำดับ และพบว่าการใช้ glutathione:tartaric acid ในปริมาณ 10:500 มิลลิกรัมต่อสารละลายน้ำ 100 มิลลิลิตร ทำให้การลดลงของปริมาณ TAcy สูงกว่าการใช้ glutathione:tartaric acid ในปริมาณ 10:250 มิลลิกรัมต่อสารละลายน้ำ 100 มิลลิลิตร เนื่องจาก tartaric acid สามารถเร่งการเกิด hydrolysis อย่างช้า ๆ ของน้ำตาลที่ต่อกับแอนโไฮยาаниล์ ทำให้ได้แอนโไฮยาโนนิกน้ำที่ไม่เสถียร

ตารางที่ 4.20 ปริมาณ relative TAcY (%) ของสารละลายน้ำ溶于水 ใช้ยาันส์ที่ปริมาณ glutathione 10 มิลลิกรัมต่อสารละลายน้ำ 100 มิลลิลิตร ระหว่างการเก็บที่อุณหภูมิห้องเย็น

ระยะเวลา (วัน)	ปริมาณ glutathione : tartaric acid (มิลลิกรัมต่อสารละลายน้ำ 100 มิลลิลิตร)			
	0:0	10:150	10:250	10:400
0 ⁺⁺	100.00 ₊₀	100.00 ₊₀	100.00 ₊₀	100.00 ₊₀
7 ⁺⁺	92.72 _{+1.04}	93.61 _{+1.54}	95.21 ₊₀	95.70 _{+0.55}
14	85.49 ^b _{+1.07}	87.42 ^b _{+0.01}	93.25 ^a _{+1.71}	90.83 ^a _{+0.28}
21	80.26 ^b _{+1.64}	81.22 ^b _{+1.54}	91.78 ^a _{+0.11}	89.84 ^a ₊₀
28	77.87 ^b _{+1.02}	78.37 ^b _{+1.73}	90.12 ^a _{+1.17}	89.26 ^a _{+0.28}
35	70.15 ^c _{+1.81}	75.69 ^b _{+1.68}	83.59 ^a _{+2.60}	88.48 ^a _{+0.28}
42	67.88 ^c _{+0.47}	72.84 ^c _{+1.86}	80.23 ^b _{+3.46}	87.50 ^a ₊₀
49	66.10 ^c _{+1.12}	70.15 ^c _{+1.81}	77.86 ^b _{+1.24}	84.38 ^a _{+3.32}
56	62.07 ^d _{+1.20}	68.79 ^c _{+0.11}	77.46 ^b _{+4.04}	84.38 ^a _{+1.11}
63	59.42 ^c _{+1.41}	66.76 ^b _{+2.05}	79.06 ^a _{+0.45}	82.03 ^a ₊₀
70	56.71 ^d _{+0.75}	68.13 ^c _{+0.82}	80.24 ^b _{+0.11}	82.42 ^a _{+0.55}
77	52.00 ^c _{+2.38}	67.80 ^b _{+1.29}	79.85 ^a _{+0.45}	82.03 ^a ₊₀
84	47.59 ^c _{+0.84}	63.77 ^b _{+1.22}	78.66 ^a _{+1.00}	80.08 ^a _{+0.55}
91	46.74 ^c _{+1.95}	61.41 ^b _{+0.26}	76.68 ^a _{+0.42}	78.91 ^a ₊₀
98	42.76 ^d _{+0.58}	60.74 ^c _{+0.28}	76.29 ^b _{+0.13}	78.13 ^a ₊₀

หมายเหตุ

a,b,c,... ค่าเฉลี่ยที่มีอักษรต่างกันของข้อมูลในแกรนเดียวกันมีความแตกต่างอย่างมีนัยสำคัญทางสถิติที่ระดับความเชื่อมั่นร้อยละ 95

ns ไม่มีความแตกต่างอย่างมีนัยสำคัญทางสถิติที่ระดับความเชื่อมั่นร้อยละ 95

ตารางที่ 4.21 ค่า F จากการวิเคราะห์ความแปรปรวนของ relative TAcy (%) ของสารละลายน้ำกัดเย็นโดยใชานิลที่ปริมาณ glutathione 10 มิลลิกรัมต่อสารละลายน้ำกัด 100 มิลลิลิตร ระหว่างการเก็บท่อแยกน้ำห้องเย็น

ระยะเวลา (วัน)	ค่า F ของ relative TAcy
0	-
7	4.09
14	23.18*
21	54.11*
28	65.70*
35	41.07*
42	37.61*
49	30.96*
56	40.25*
63	139.92*
70	730.39*
77	202.64*
84	528.43*
91	442.15*
98	5046.03*

หมายเหตุ

* มีความแตกต่างอย่างมีนัยสำคัญทางสถิติที่ระดับความเชื่อมั่นร้อยละ 95 โดยที่ค่า $F_{0.05,4}$ จากตาราง = 6.59

ตารางที่ 4.22 ปริมาณ relative TAcy (%) ของสารละลายน้ำกลูต้าไธโอนโซไซด์ที่ปริมาณ glutathione 20 มิลลิกรัมต่อสารละลายน้ำ 100 มิลลิลิตร ระหว่างการเก็บที่อุณหภูมิห้องเย็น

ระยะเวลา (วัน)	ปริมาณ glutathione : tartaric acid (มิลลิกรัมต่อสารละลายน้ำ 100 มิลลิลิตร)			
	0:0	20:150	20:250	20:400
0**	100.00±0	100.00±0	100.00±0	100.00±0
7**	92.72±1.04	93.80±0	95.44±2.59	97.83±0.86
14	85.49 ^c ±1.07	90.31 ^b ±0	95.51 ^b ±0.69	95.26 ^a ±0.03
21	80.26 ^c ±1.64	86.82 ^b ±0	89.84 ^b ±0.79	93.28 ^a ±0.59
28	77.87 ^d ±1.02	84.89 ^c ±0.54	87.96 ^b ±1.75	91.11 ^a ±0.33
35	70.15 ^c ±1.81	82.95 ^b ±0.54	87.96 ^b ±1.75	88.94 ^a ±0.06
42	67.88 ^c ±0.47	80.82 ^b ±0.83	86.58 ^a ±2.01	84.19 ^{a,b} ±1.21
49	66.10 ^c ±1.12	79.07 ^b ±1.10	85.20 ^a ±2.27	81.43 ^{a,b} ±0.46
56	62.07 ^c ±1.20	75.97 ^b ±1.10	85.20 ^a ±2.27	81.42 ^a ±0.66
63	59.42 ^c ±1.41	76.74 ^b ±0	83.82 ^a ±2.25	80.63 ^{a,b} ±0.45
70	56.71 ^c ±0.75	77.13 ^b ±2.74	83.42 ^a ±1.96	81.03 ^{a,b} ±1.22
77	52.00 ^c ±2.38	76.36 ^b ±1.65	81.64 ^a ±1.65	79.85 ^{a,b} ±0.45
84	47.59 ^b ±0.84	77.91 ^a ±0.54	79.86 ^a ±1.34	79.85 ^a ±0.45
91	46.74 ^b ±1.95	75.58 ^a ±1.64	78.08 ^a ±1.59	79.06 ^a ±0.45
98	42.76 ^c ±0.58	73.26 ^b ±1.65	76.30 ^{a,b} ±1.84	78.06 ^a ±0.16

หมายเหตุ

a,b,c,... ค่าเฉลี่ยที่มีอักษรต่างกันของข้อมูลในแต่เดียวกันมีความแตกต่างอย่างมีนัยสำคัญทางสถิติที่ระดับความเชื่อมั่นร้อยละ 95

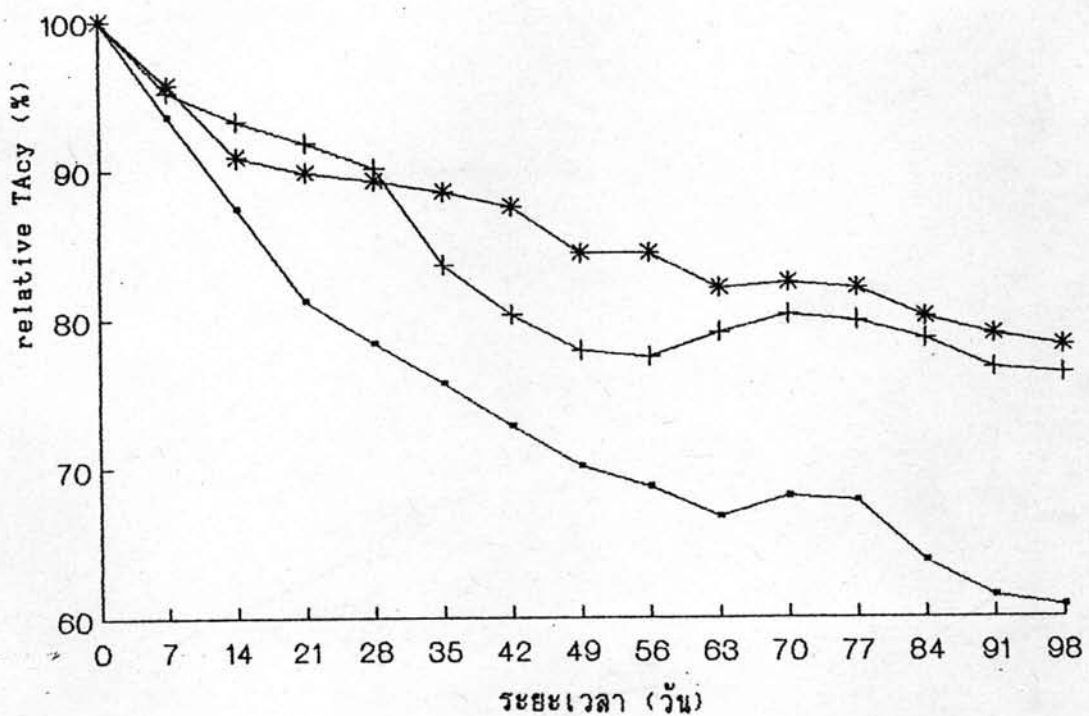
ns ไม่มีความแตกต่างอย่างมีนัยสำคัญทางสถิติที่ระดับความเชื่อมั่นร้อยละ 95

ตารางที่ 4.23 ค่า F จากการวิเคราะห์ความแปรปรวนของ relative TAcy (%) ของสารละลายน้ำกัดแอนโซไซดานีนส์ที่ปริมาณ glutathione 20 มิลลิกรัมต่อสารละลายน้ำกัด 100 มิลลิลิตร ระหว่างการเก็บที่อุณหภูมิห้องเย็น

ระยะเวลา (วัน)	ค่า F ของ relative TAcy
0	-
7	4.62
14	80.35*
21	45.18*
28	56.71*
35	89.74*
42	86.79*
49	70.42*
56	99.86*
63	110.40*
70	88.49*
77	135.45*
84	671.00*
91	207.86*
98	344.62*

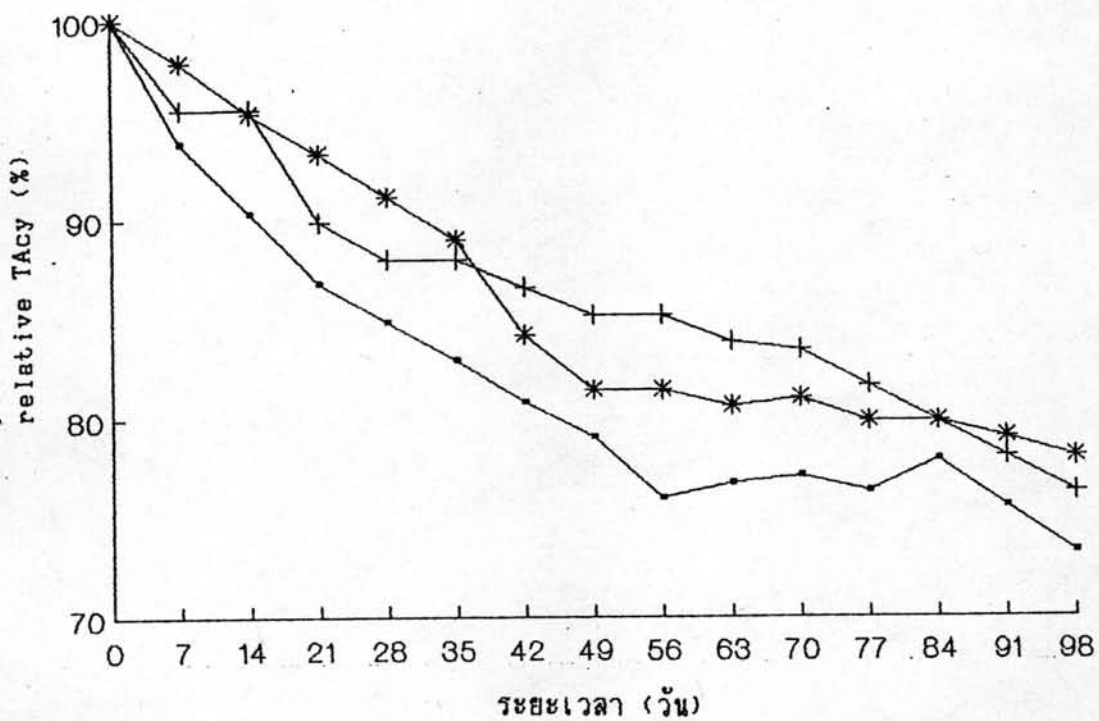
หมายเหตุ

* มีความแตกต่างอย่างมีนัยสำคัญทางสถิติที่ระดับความเชื่อมั่นร้อยละ 95 โดยที่ค่า $F_{(3,4)}$ จากตาราง = 6.59



- tartaric acid 150 มิลลิกรัมต่อสารละลายสักด้ 100 มิลลิลิตร
- +— tartaric acid 250 มิลลิกรัมต่อสารละลายสักด้ 100 มิลลิลิตร
- *— tartaric acid 400 มิลลิกรัมต่อสารละลายสักด้ 100 มิลลิลิตร

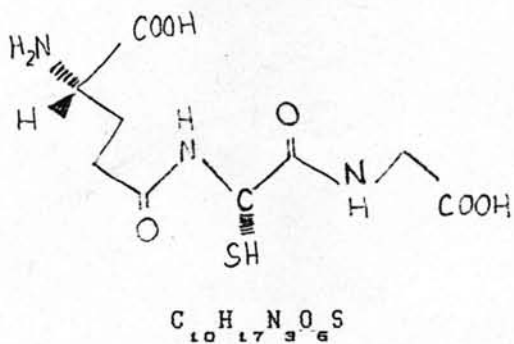
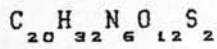
รูปที่ 4.10 ผลการใช้ tartaric acid เป็นวัตถุเจือปนในสารละลายสักด้ ที่ระดับ glutathione 10 มิลลิกรัมต่อสารละลายสักด้ 100 มิลลิลิตร



รูปที่ 4.11 ผลการใช้ tartaric acid เป็นวัตถุเจือปนในสารละลายน้ำสกัด ทึระดับ glutathione 20 มิลลิกรัมต่อสารละลายน้ำสกัด 100 มิลลิลิตร

- tartaric acid 150 มิลลิกรัมต่อสารละลายน้ำสกัด 100 มิลลิลิตร
- + tartaric acid 250 มิลลิกรัมต่อสารละลายน้ำสกัด 100 มิลลิลิตร
- * tartaric acid 400 มิลลิกรัมต่อสารละลายน้ำสกัด 100 มิลลิลิตร

glutathione ที่ใช้เป็นวัตถุเจือปนอยู่ในรูปของ reduced form (รูปที่ 4.12) จึงมีสมบัติเป็น antioxidant ทำหน้าที่ป้องกันการเกิดปฏิกิริยา oxidation ของแอนโซไซดานิล์ โดย -SH group ในโมเลกุลจะทำหน้าที่เป็น reducing group หลังจาก glutathione จะ oxidized แล้ว จะอยู่ในรูปของ oxidized form ซึ่งมีสตรเป็น



L-Glutathione reduced, GSH (γ -L-Glutamyl-L-cysteinyl-glycine)

รูปที่ 4.12 L-Glutathione reduced

เมื่อระยะเวลาในการเก็บนานขึ้น จะพบว่าปริมาณ TAcy ในสารละลายน้ำมีค่าลดลง ในขณะที่ปริมาณ PC มีค่าเพิ่มขึ้นอย่างมีนัยสำคัญทางสถิติที่ระดับความเชื่อมั่นร้อยละ 95 (ตารางที่ 4.24 และ 4.26) โดยปริมาณ PC ในสารละลายน้ำมีค่าเพิ่มขึ้นที่สูงกว่าในสารละลายน้ำที่มีการใช้สาร glutathione ร่วมกับ tartaric acid เป็นวัตถุเจือปน ยกเว้นในสารละลายน้ำที่มีการใช้สาร glutathione ร่วมกับ tartaric acid ในปริมาณ 20:400 มิลลิกรัมต่อสารละลายน้ำ 100 มิลลิลิตร จะพบว่า ปริมาณ PC มีค่าเพิ่มขึ้นอย่างไม่มีนัยสำคัญทางสถิติที่ระดับความเชื่อมั่นร้อยละ 95 และคงว่าการใช้วัตถุเจือปนที่ระดับนี้สามารถลดการเกิดปฏิกิริยา polymerization ของแอนโอดิไซด์ได้ เมื่อพิจารณาการลดลงของปริมาณ TAcy ร่วมกับการเพิ่มขึ้นของปริมาณ PC ในสารละลายน้ำ พบว่าระดับการใช้วัตถุเจือปนที่เหมาะสมคือ การใช้ glutathione:tartaric acid ในปริมาณ 20:400 มิลลิกรัมต่อสารละลายน้ำ 100 มิลลิลิตร เนื่องจากการใช้วัตถุเจือปนที่ระดับนี้จะให้ผลในการชลอการลดลงของปริมาณ TAcy ได้ดีกว่าระดับอื่น ๆ และทำให้การเพิ่มขึ้นของปริมาณ PC มีค่าเพิ่มขึ้นอย่างไม่มีนัยสำคัญทางสถิติที่ระดับความเชื่อมั่นร้อยละ 95

เมื่อพิจารณาปริมาณ TCD ในสารละลายน้ำ (ตารางที่ 4.25 และ 4.26) พบว่ามีค่าลดลงอย่างมีนัยสำคัญทางสถิติที่ระดับความเชื่อมั่นร้อยละ 95 เมื่อระยะเวลาการเก็บนานขึ้น ทั้งนี้เนื่องจากเกิดการสลายตัวของแอนโอดิไซด์ในสารละลายน้ำ โดยปริมาณ TCD ในสารละลายน้ำที่ไม่ใช้วัตถุเจือปนมีแนวโน้มการลดลงที่สูงกว่าในสารละลายน้ำที่มีการใช้สาร glutathione ร่วมกับ tartaric acid เป็นวัตถุเจือปน ดังนั้นการใช้สาร glutathione ร่วมกับ tartaric acid จะช่วยป้องกันการสลายตัวของแอนโอดิไซด์ได้

พาราที่ 4.24 ปริมาณ PC ของสารและลักษณะโดยใช้ชายน์สก์ในการให้ glutathione ร่วมกับ tartaric acid
ระหว่างการเก็บตัวอย่างห้องทดลอง

ระยะเวลา
(วัน)

ปริมาณ glutathione : tartaric acid
(มิลลิกรัมต่อสารละลายสัก 100 มิลลิลิตร)

	0:0	10:150	10:250	10:400	20:150	20:250	20:400 ^{**}
0	0.313+0.004	0.272+0.003	0.252+0.001	0.244+0.001	0.250+0.006	0.249+0.006	0.246+0.002
7	0.320+0.007	0.272+0.001	0.252+0.001	0.247+0.002	0.251+0.006	0.249+0	0.246+0.001
14	0.330+0.004	0.273+0.002	0.254+0.002	0.247+0	0.252+0.004	0.249+0.004	0.246+0.008
21	0.339+0.005	0.274+0	0.254+0	0.247+0.001	0.255+0.007	0.251+0.002	0.247+0.001
28	0.341+0.004	0.274+0.006	0.256+0.004	0.247+0.002	0.259+0.004	0.251+0.002	0.247+0.008
35	0.351+0.002	0.278+0.007	0.256+0	0.248+0.001	0.260+0.004	0.252+0.007	0.248+0.004
42	0.352+0.001	0.279+0.004	0.256+0.001	0.248+0	0.263+0.004	0.253+0.001	0.249+0.001
49	0.353+0.001	0.280+0.004	0.256+0.001	0.249+0.009	0.263+0.005	0.255+0.002	0.252+0.001
56	0.356+0.004	0.281+0.001	0.256+0.004	0.251+0	0.265+0.001	0.255+0.004	0.253+
63	0.359+0.007	0.284+0.002	0.257+0.001	0.251+0.001	0.266+0.004	0.255+0.002	0.254+0.001
70	0.362+0.004	0.287+0.009	0.257+0.001	0.253+0.004	0.266+0.004	0.256+0.004	0.254+0.004
77	0.364+0	0.290+0.002	0.258+0	0.255+0	0.267+0.001	0.257+0.004	0.258+0.011
84	0.366+0.001	0.292+0.002	0.259+0.002	0.255+0.002	0.268+0.004	0.263+0.004	0.259+0.004
91	0.366+0	0.292+0.009	0.263+0.004	0.256+0.004	0.268+0.002	0.264+0.004	0.259+0.006
98	0.373+0.001	0.292+0.001	0.265+0.005	0.258+0.004	0.269+0.001	0.264+0.001	0.259+0.001

หมายเหตุ
** ความจำเพาะทางเคมีของน้ำเสียที่ใช้ในการทดสอบความเข้มข้นของสารตัวอย่าง

ใน ความจำเพาะทางเคมีของน้ำเสียที่ใช้ในการทดสอบความเข้มข้นของสารตัวอย่าง 95

พาราเจที่ 4.25 ปริมาณ TCD ของสารลดล้างสกัดเม็ดในไชยานันทน์มากการใช้ glutathione ร่วมกับ tartaric acid
และวิธีการเก็บตัวอย่างใหม่ๆ

ช่วงเวลา (วินาที)	ปริมาณ glutathione : tartaric acid (มิลลิกรัมต่อสารละลายสัก 100 มิลลิลิตร)						
	0:0	10:150	10:250	10:400	20:150	20:250	20:400
0	0.801+0.004	0.718+0.014	0.733+0.003	0.746+0.017	0.692+0.016	0.709+0.005	0.715+0.018
7	0.798+0.006	0.705+0.003	0.729+0.011	0.744+0.003	0.667+0.012	0.706+0.003	0.707+0.024
14	0.796+0.001	0.685+0	0.675+0.011	0.732+0.004	0.650+0.003	0.705+0.018	0.700+0.001
21	0.773+0.004	0.666+0.006	0.648+0.004	0.726+0.008	0.616+0.006	0.699+0.008	0.696+0.004
28	0.760+0.007	0.640+0.006	0.640+0.003	0.720+0.004	0.598+0.001	0.689+0.001	0.689+0.001
35	0.745+0.002	0.624+0.021	0.625+0.003	0.709+0	0.589+0.004	0.689+0.001	0.685+0.007
42	0.718+0.006	0.610+0.007	0.602+0.009	0.684+0.001	0.577+0.006	0.660+0.002	0.677+0.006
49	0.690+0.006	0.586+0.008	0.593+0.003	0.670+0.021	0.569+0.005	0.646+0.008	0.663+0.004
56	0.672+0.003	0.566+0.006	0.587+0.008	0.666+0.007	0.563+0.007	0.634+0.013	0.660+0.008
63	0.638+0.008	0.564+0.004	0.584+0.005	0.654+0.001	0.557+0.001	0.627+0.004	0.654+0.001
70	0.624+0.004	0.561+0.010	0.578+0.004	0.651+0.003	0.555+0.003	0.618+0.013	0.648+0.016
77	0.597+0.007	0.556+0.006	0.566+0.003	0.645+0.005	0.548+0.008	0.611+0.006	0.642+0.002
84	0.584+0.005	0.554+0.002	0.564+0.005	0.644+0.001	0.541+0.001	0.590+0.006	0.638+0.001
91	0.568+0.009	0.540+0.005	0.561+0.001	0.639+0.006	0.536+0.006	0.587+0.001	0.630+0.003
98	0.552+0.003	0.534+0.002	0.559+0.002	0.637+0.005	0.530+0.011	0.561+0.008	0.625+0.008

ตารางที่ 4.26 ค่า F จากการวิเคราะห์ความแปรปรวนของ TCD และ PC ของสารละลายน้ำกัด
แอนโซไซดานินส์ที่มีการใช้ glutathione ร่วมกับ tartaric acid ระหว่าง
การเก็บตัวอย่างหุ่นห้องเย็น

ปริมาณ glutathione:tartaric acid

ค่า F

(มิลลิกรัมต่อสารละลายน้ำกัด 100 มิลลิลิตร)

	TCD	PC
0:0	545.54*	46.89*
10:150	113.79*	5.60*
10:250	204.02*	5.36*
10:400	52.47*	4.42*
20:150	94.14*	5.63*
20:250	72.91*	4.61*
20:400	18.05*	2.41

หมายเหตุ

* มีความแตกต่างอย่างมีนัยสำคัญทางสถิติที่ระดับความเชื่อมั่นร้อยละ 95

โดยที่ค่า $F_{(14,15)}$ จากตาราง = 2.43

4.3.3.2 ผลของการใช้สารปะกอน phenolics

เมื่อเก็บสารละลายน้ำที่มีการใช้สารปะกอน phenolics เป็นวัตถุเจือปนที่อยู่หมุนห้องเย็น โดยศึกษาผลของสารปะกอน phenolics 3 ชนิด คือ caffeic acid rutin และ (+)-catechin แปรปริมาณสารปะกอน phenolics เป็น 0 40 และ 80 มิลลิกรัมต่อสารละลายน้ำ 100 มิลลิลิตร จะพบว่าความยาวคลื่นที่ให้ค่าการดูดกลืนแสงสูงสุดของสารละลายน้ำที่คลื่นความถี่ 98 วัน (ตารางที่ 4.27) ผลการตรวจปริมาณเชื้อยีสต์และราในสารละลายน้ำที่ระยะเวลา 28 63 และ 98 วัน ไม่พบการเจริญของเชื้อยีสต์และรา ค่า pH ของสารละลายน้ำ แสดงค้างตารางที่ 4.28 ผลการวิเคราะห์ปริมาณแอนไซยานินส์ทั้งหมด (TAcy) ของสารละลายน้ำด้วยวิธี pH differential ซึ่งแสดงในรูปของ relative TAcy (%) แสดงค้างตารางที่ 4.29 - 4.32 ผลการวิเคราะห์ปริมาณสี polymeric (PC) และผลการวิเคราะห์ปริมาณความเข้มของสีทั้งหมด (TCD) แสดงค้างตารางที่ 4.33 - 4.35

ตารางที่ 4.27 ความยาวคลื่นที่ให้ค่าการดูดกลืนแสงสูงสุดของสารละลายน้ำที่มีการใช้สารประกอบ phenolics ระหว่างการเก็บท่อแพมิห้องเย็น

วัตถุเจือปนอาหาร	ปริมาณ	λ_{max} (nm)
(มิลลิกรัมต่อสารละลายน้ำ 100 มิลลิลิตร)		
control	-	572
caffeic acid	40	620
	80	617
rutin	40	623
	80	623
(+)-catechin	40	623
	80	623

ตารางที่ 4.28 pH ของสารละลายน้ำที่มีการใช้สารประกอบ phenolics ระหว่างการเก็บท่อแพมิห้องเย็น

วัตถุเจือปนอาหาร	ปริมาณ	pH
(มิลลิกรัมต่อสารละลายน้ำ 100 มิลลิลิตร)		
control	-	4.94-5.10
caffeic acid	40	6.32-6.45
	80	5.65-5.83
rutin	40	6.96-7.09
	80	6.90-7.01
(+)-catechin	40	6.99-7.09
	80	6.96-7.11

จากตารางที่ 4.29 - 4.32 จะพบว่าการใช้สารประกอบ phenolics เป็นวัตถุเจือปนในสารละลายสกัดให้ผลในการชลอการลดลงของปริมาณ TAcy ได้ดีกว่า เมื่อไม่ใช้วัตถุเจือปนอย่างมีนัยสำคัญทางสถิติที่ระดับความเชื่อมั่นร้อยละ 95 ที่ระดับการใช้วัตถุเจือปนในปริมาณ 40 มิลลิกรัมต่อสารละลายสกัด 100 มิลลิลิตร จะพบว่าการใช้ caffeic acid, rutin และ (+)-catechin เป็นวัตถุเจือปนในสารละลายสกัดให้ผลในการชลอการลดลงของปริมาณ TAcy ไม่แตกต่างกันอย่างมีนัยสำคัญทางสถิติที่ระดับความเชื่อมั่นร้อยละ 95 ส่วนที่ระดับการใช้วัตถุเจือปนในปริมาณ 80 มิลลิกรัมต่อสารละลายสกัด 100 มิลลิลิตร จะพบว่าที่อายุการเก็บ 42 วันขึ้นไป การใช้ caffeic acid และ rutin เป็นวัตถุเจือปนในสารละลายสกัดให้ผลในการชลอการลดลงของปริมาณ TAcy ได้ดีกว่าการใช้สาร (+)-catechin เป็นวัตถุเจือปนในสารละลายสกัดต่ออย่างมีนัยสำคัญทางสถิติที่ระดับความเชื่อมั่นร้อยละ 95 แต่การใช้สาร caffeic acid และ rutin เป็นวัตถุเจือปนในสารละลายสกัดให้ผลในการชลอการลดลงของปริมาณ TAcy ไม่แตกต่างกันอย่างมีนัยสำคัญทางสถิติที่ระดับความเชื่อมั่นร้อยละ 95 และเมื่อเปรียบเทียบผลของปริมาณวัตถุเจือปนที่ใช้ (รูปที่ 4.13 - 4.15) จะพบว่าการใช้ caffeic acid ในปริมาณ 80 มิลลิกรัมต่อสารละลายสกัด 100 มิลลิลิตร ให้ผลในการชลอการลดลงของปริมาณ TAcy ได้ดีกว่าการใช้ caffeic acid ในปริมาณ 40 มิลลิกรัมต่อสารละลายสกัด 100 มิลลิลิตร ผลการใช้ rutin เป็นในทำนองเดียวกับการใช้ caffeic acid ส่วนการใช้ (+)-catechin พบว่า เมื่อใช้ในปริมาณ 40 มิลลิกรัมต่อสารละลายสกัด 100 มิลลิลิตร จะให้ผลในการชลอการลดลงของปริมาณ TAcy ได้ดีกว่าการใช้ในปริมาณ 80 มิลลิกรัมต่อสารละลายสกัด 100 มิลลิลิตร

ตารางที่ 4.29 ปริมาณ relative TAcY (%) ของสารละลายน้ำ溶于水 โซไซตันส์ที่ปริมาณ
วัตถุเจือปนอาหาร 40 มิลลิกรัมต่อสารละลายน้ำ溶于水 100 มิลลิลิตร ระหว่างการเก็บที่
อุณหภูมิห้องเย็น

ระยะเวลา (วัน)	วัตถุเจือปนอาหาร			
	control	caffeic acid	rutin	(+)-catechin
0 ^{**}	100.00±0	100.00±0	100.00±0	100.00±0
7 ^{**}	92.72±1.04	97.26±0.54	98.91±0.52	97.89±0.57
14	85.49 ^b ±1.07	96.14 ^a ±2.12	98.36 ^a ±1.81	97.03 ^a ±1.24
21	80.26 ^b ±1.64	94.55 ^a ±2.38	96.55 ^a ±0.28	95.77 ^a ±0.05
28	77.87 ^b ±1.02	92.52 ^a ±0.62	93.06 ^a ±0.51	94.50 ^a ±0.53
35	70.15 ^b ±1.81	90.66 ^a ±3.20	91.47 ^a ±0.33	93.65 ^a ±0.08
42	67.88 ^b ±0.47	89.74 ^a ±3.17	89.29 ^a ±0.34	93.01 ^a ±0.38
49	66.10 ^b ±1.12	87.67 ^a ±2.76	87.84 ^a ±0.68	91.96 ^a ±0.50
56	62.07 ^b ±1.20	86.73 ^a ±1.44	86.75 ^a ±0.16	89.48 ^a ±0.63
63	59.42 ^b ±1.41	85.13 ^a ±1.69	85.67 ^a ±0.15	87.28 ^a ±1.36
70	56.71 ^b ±0.75	82.82 ^a ±0.95	83.12 ^a ±0.13	84.23 ^a ±0.56
77	52.00 ^b ±2.38	79.61 ^a ±0.83	81.30 ^a ±1.43	82.62 ^a ±2.00
84	47.59 ^b ±0.84	78.73 ^a ±2.74	80.22 ^a ±0.41	79.86 ^a ±2.93
91	46.74 ^b ±1.95	76.65 ^a ±1.68	78.40 ^a ±1.45	77.97 ^a ±0.26
98	42.76 ^b ±0.58	74.34 ^a ±1.60	77.31 ^a ±0.95	74.78 ^a ±1.80

หมายเหตุ

a,b,c,... ค่าเฉลี่ยที่มีอักษรต่างกันของข้อมูลในacco เดียวกันมีความแตกต่างอย่างมีนัยสำคัญทางสถิติที่ระดับความเชื่อมั่นร้อยละ 95

ns ไม่มีความแตกต่างอย่างมีนัยสำคัญทางสถิติที่ระดับความเชื่อมั่นร้อยละ 95

ตารางที่ 4.30 ค่า F จากการวิเคราะห์ความแปรปรวนของ relative TAcy (%) ของสารละลายน้ำกัดแอนโซไซดานินส์ที่ปริมาณวัตถุเจือปนอาหาร 40 มิลลิกรัมต่อสารละลายน้ำกัด 100 มิลลิลิตร ระหว่างการเก็บที่อุณหภูมิห้องเรียน

ระยะเวลา (วัน)	ค่า F ของ relative TAcy
0	-
7	30.44*
14	26.80*
21	56.48*
28	246.95*
35	70.40*
42	100.96*
49	113.94*
56	338.37*
63	211.60*
70	792.33*
77	138.57*
84	120.94*
91	218.14*
98	305.95*

หมายเหตุ

* มีความแตกต่างอย่างมีนัยสำคัญทางสถิติที่ระดับความเชื่อมั่นร้อยละ 95

โดยที่ค่า $F_{(3,4)}$ จากตาราง = 6.59

ตารางที่ 4.31 ปริมาณ relative TAcy (%) ของสารละลายน้ำในไซยาโนสีที่ปริมาณ
วัตถุเจือปนอาหาร 80 มิลลิกรัมต่อสารละลายน้ำ 100 มิลลิลิตร ระหว่างการเก็บที่
อุณหภูมิห้องเรือน

ระยะเวลา (วัน)	control	วัตถุเจือปนอาหาร		
		caffeic acid	rutin	(+)-catechin
0 ^{**}	100.00±0	100.00±0	100.00±0	100.00±0
7	92.72 ^b ±1.04	98.98 ^a ±0.28	98.53 ^a ±1.05	98.31 ^a ±0.02
14	85.49 ^b ±1.07	97.75 ^a ±0.27	97.97 ^a ±2.36	95.35 ^a ±0.54
21	80.26 ^b ±1.64	96.52 ^a ±0.90	97.24 ^a ±2.37	93.22 ^a ±0.08
28	77.87 ^b ±1.02	94.06 ^a ±2.65	95.06 ^a ±0.71	92.38 ^a ±0.09
35	70.15 ^b ±1.81	93.66 ^a ±0.93	94.13 ^a ±0.44	90.25 ^a ±1.32
42	67.88 ^c ±0.47	92.02 ^a ±0.93	93.58 ^a ±0.35	87.71 ^b ±0.45
49	66.10 ^c ±1.12	90.79 ^a ±1.53	92.48 ^a ±0.16	84.75 ^b ±0.18
56	62.07 ^c ±1.20	89.57 ^a ±2.11	91.01 ^a ±0.14	84.33 ^b ±0.42
63	59.42 ^c ±1.41	87.32 ^a ±1.27	89.18 ^a ±0.64	83.89 ^b ±1.39
70	56.71 ^c ±0.75	85.89 ^a ±0.17	86.25 ^a ±0.60	82.00 ^b ±0.69
77	52.00 ^c ±2.38	83.85 ^a ±0.43	84.90 ^a ±0.98	79.23 ^b ±0.85
84	47.59 ^c ±0.84	81.18 ^a ±2.48	82.57 ^a ±0.55	77.12 ^b ±0.33
91	46.74 ^c ±1.95	79.96 ^a ±0.76	81.47 ^a ±0.02	73.72 ^b ±1.51
98	42.76 ^c ±0.58	78.53 ^a ±0.47	80.01 ^a ±1.04	71.81 ^b ±1.84

หมายเหตุ

a, b, c,... ค่าเฉลี่ยที่มีอักษรต่างกันของข้อมูลในแต่เดียวกันมีความแตกต่างอย่างมีนัยสำคัญทางสถิติที่ระดับความเชื่อมั่นร้อยละ 95

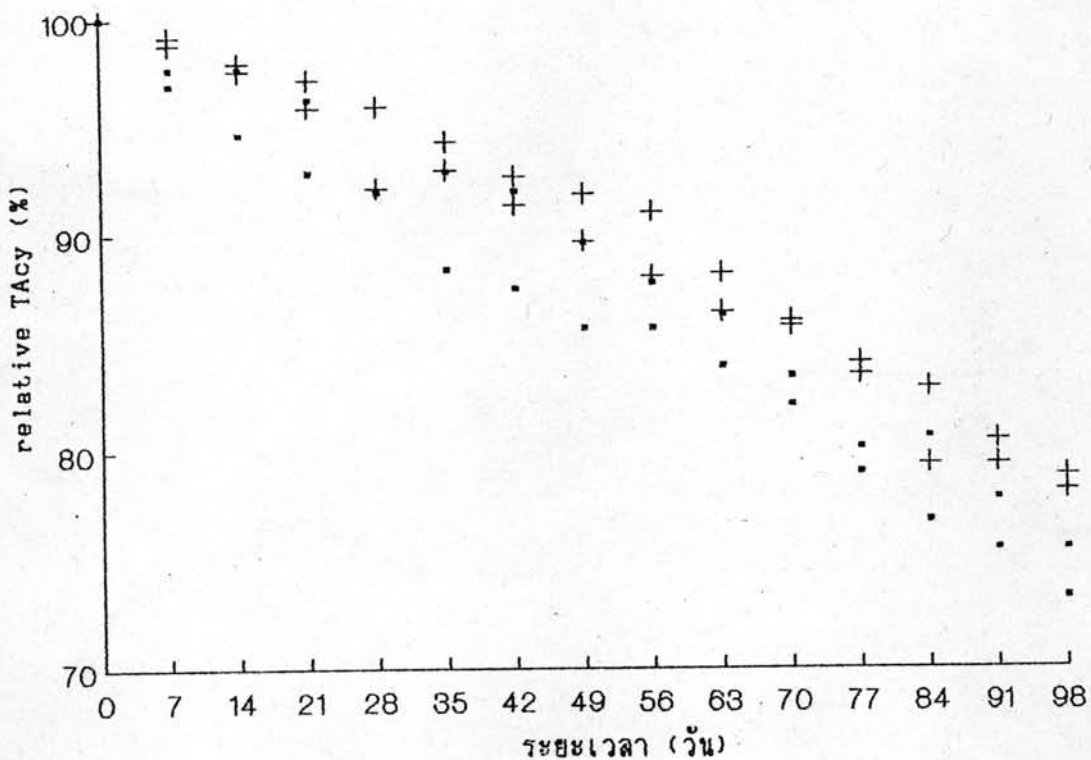
ns ไม่มีความแตกต่างอย่างมีนัยสำคัญทางสถิติที่ระดับความเชื่อมั่นร้อยละ 95

ตารางที่ 4.32 ค่า F จากการวิเคราะห์ความแปรปรวนของ relative TAcy (%) ของสารละลายน้ำกัดแอนโซไซดานินส์ที่ปริมาณวัตถุเจือปนอาหาร 80 มิลลิกรัมต่อสารละลายน้ำกัด 100 มิลลิลิตร ระหว่างการเก็บท่อแพมีห้องเย็น

ระยะเวลา (วัน)	ค่า F ของ relative Tacy
0	-
7	30.83*
14	39.16*
21	54.70*
28	60.46*
35	171.45*
42	795.86*
49	321.00*
56	236.77*
63	259.31*
70	1123.43*
77	253.14*
84	299.81*
91	313.62*
98	481.26*

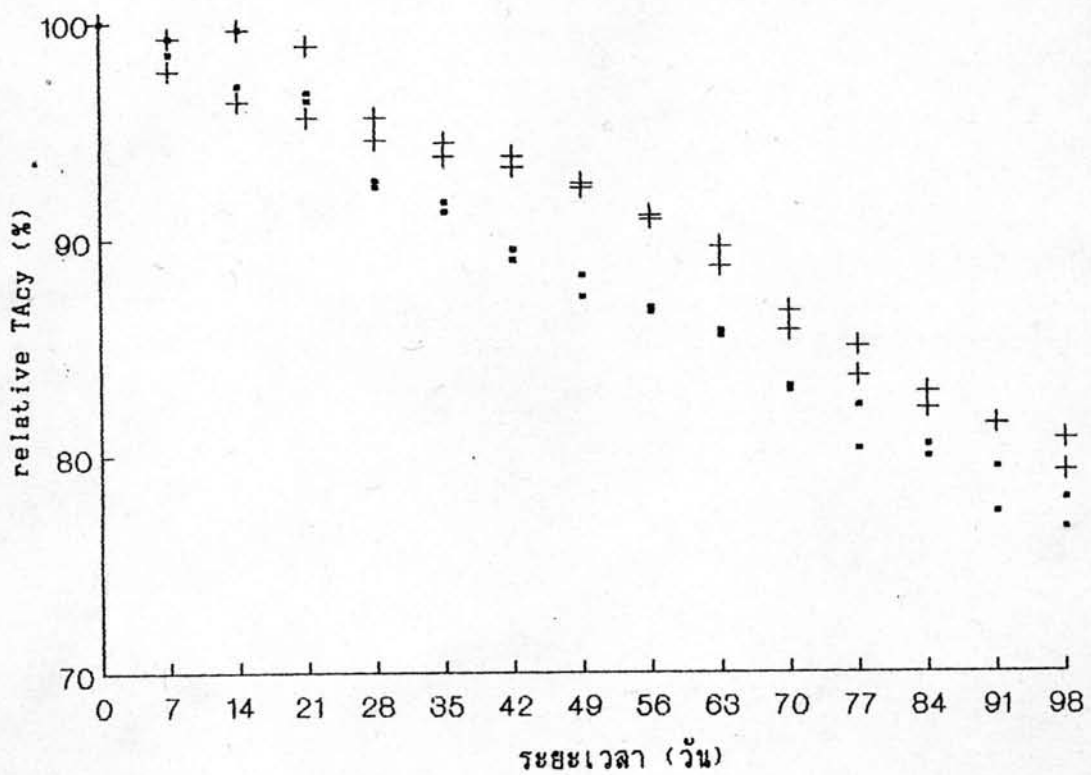
หมายเหตุ

* มีความแตกต่างอย่างมีนัยสำคัญทางสถิติที่ระดับความเชื่อมั่นร้อยละ 95
โดยที่ค่า $F_{(3,4)}$ จากตาราง = 6.59



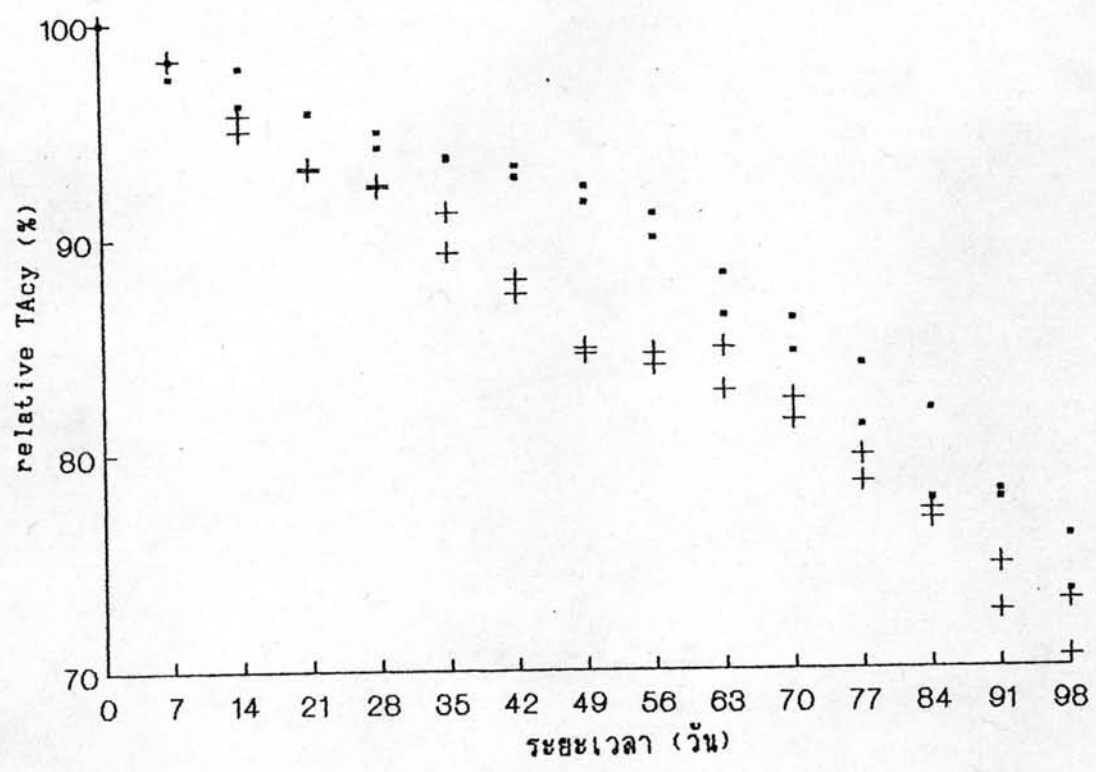
- ที่รยดับ 40 มิลลิกรัมต่อสารละลายน้ำสกัด 100 มิลลิลิตร
 + ที่รยดับ 80 มิลลิกรัมต่อสารละลายน้ำสกัด 100 มิลลิลิตร

รูปที่ 4.13 ผลการใช้ caffeic acid เป็นวัตถุเจือปนในสารละลายน้ำสกัด



* ที่รับดับ 40 มิลลิกรัมต่อสารละลายน้ำ 100 มิลลิลิตร
+ ที่รับดับ 80 มิลลิกรัมต่อสารละลายน้ำ 100 มิลลิลิตร

รูปที่ 4.14 ผลการใช้ rutin เป็นวัตถุเจือปนในสารละลายน้ำ

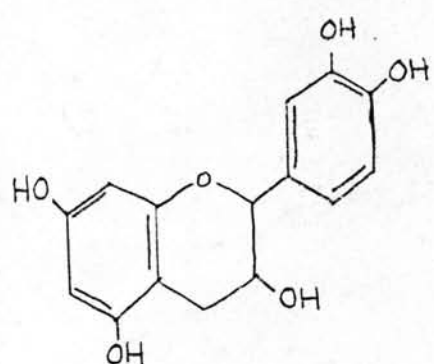
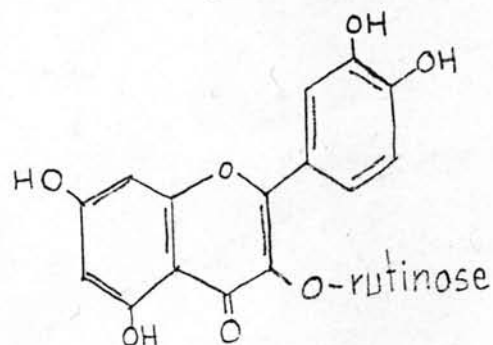
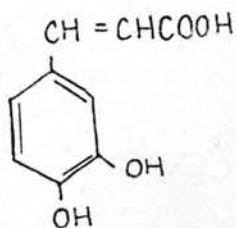


- ที่รยดบ 40 มิลลิกรัมต่อสารละลายน้ำ 100 มิลลิลิตร
- + ที่รยดบ 80 มิลลิกรัมต่อสารละลายน้ำ 100 มิลลิลิตร

รูปที่ 4.15 ผลการใช้ (+)-catechin เป็นวัตถุเจือปนในสารละลายน้ำ

การใช้สารประกอบ phenolics เป็นวัตถุเจือปนในสารละลายสกัดจะช่วยลดการลดลงของปริมาณ TAcy ดังนี้แอนโซไซยานินส์จะมีเสถียรภาพคืนเนื่องจากการเกิดสารประกอบเชิงช้อนระหว่างแอนโซไซยานินส์กับสารประกอบ phenolics จะช่วยป้องกันการสลายตัวของแอนโซไซยานินส์ และการเกิด polymerization ดังนี้จึงช่วยรักษาเสถียรภาพของแอนโซไซยานินส์ นอกจากนี้การเกิดสารประกอบเชิงช้อนจะทำให้เกิด bathochromic shift effect หรือ bluing effect คือ ค่าความยาวคลื่นที่ให้ค่าการคุณลักษณะสูงสุดเพิ่มขึ้น (Osawa, 1982) ดังตารางที่ 4.27 จะพบว่าความยาวคลื่นที่ให้ค่าการคุณลักษณะสูงสุดของสารละลายสกัดที่มีการใช้สารประกอบ phenolics เป็นวัตถุเจือปน มีค่าสูงกว่าของสารละลายสกัดที่ไม่มีการใช้สารประกอบ phenolics

การที่สารประกอบ phenolics แต่ละชนิดมีความสามารถในการชลอการลดลงของปริมาณ TAcy ต่างกัน เนื่องจากโครงสร้างของสารประกอบ phenolics ต่างกัน (รูปที่ 4.16) Chen และ Hrazdina (1981) ศึกษาการสร้างสารประกอบเชิงช้อนระหว่างแอนโซไซยานินส์กับสารประกอบ phenolics ชนิดต่าง ๆ ในสารละลาย และพบว่าโครงสร้างของสารประกอบ phenolics เช่น จำนวนหมู่ hydroxyl ตำแหน่งของหมู่ hydroxyl มีผลต่อการเกิดสารประกอบเชิงช้อน ส่วนชนิดของน้ำthalที่แทนที่หมู่ hydroxyl ไม่มีผลต่อการเกิดสารประกอบเชิงช้อน ทั้งนี้ขึ้นกับโครงสร้างของสารประกอบ phenolics



ก. caffeic acid

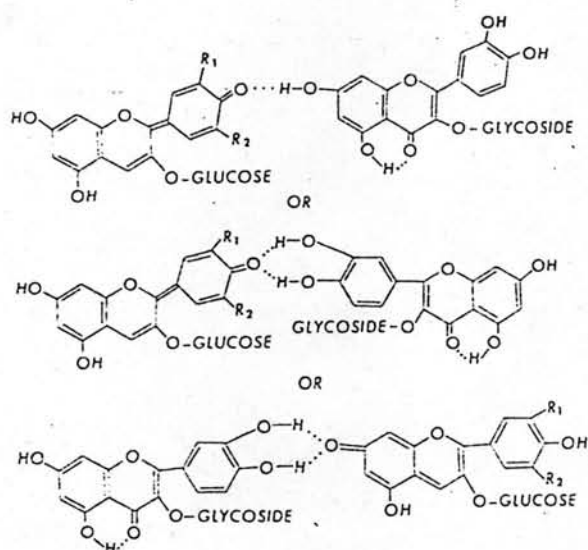
ก. rutin

ก. (+)-catechin

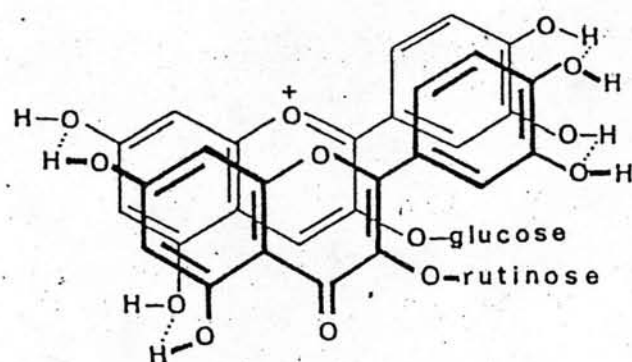
รูปที่ 4.16 สูตรโครงสร้างของสารประกอบ phenolics ที่ใช้เป็นวัตถุเจือปนในสารละลายน้ำ

การใช้ rutin เป็นวัตถุเจือปนในสารละลายน้ำ ก็จะช่วยชลอการลดลงของปริมาณ TAcyl ได้ ซึ่งสามารถอธิบายโดยการเกิดสารประกอบระหว่างแอนโซไซดานินส์กับ rutin Scheffeldt และ Hrazdina (1978) ศึกษาผลของการใช้ rutin ในการรักษาเส้นเลือดของแอนโซไซดานินส์ในน้ำอุ่น และพบว่าสารประกอบเชิงช้อนระหว่างแอนโซไซดานินส์กับ rutin เกิดจากการสร้างพันธะ hydrogen ระหว่าง carbonyl group ของ quinoidal anhydrobase ที่carboxylic acid บนตำแหน่งที่ 7 หรือ 4 กับ aromatic hydroxyl group ของ rutin ที่carboxylic acid บนตำแหน่งที่ 7 หรือ OH group ที่ตำแหน่ง 3', 4' ดังรูป 4.17 ในขณะที่ Maccarone, Maccarrone และ Rapisarda (1985) ศึกษาผลของการใช้ rutin ในการรักษาเส้นเลือดของแอนโซไซดานินส์ในน้ำเย็น และพบว่าการใช้ rutin สามารถชลอการลดลงของปริมาณ TAcyl ทึ้งนืออธิบายได้โดยการเกิด intramolecular complex ระหว่างแอนโซไซดานินส์กับ rutin (รูปที่ 4.18) ทำให้ความไวของแอนโซไซดานินส์ในการทำปฏิกิริยา nucleophilic กับน้ำ หรือสารประกอบอื่น ๆ ลดลง

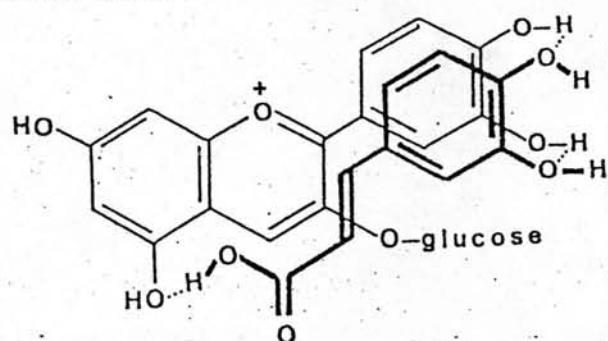
caffeic acid เป็นสารที่มีโครงสร้างคล้ายกับ rutin และมี OH group ส่องตำแหน่งที่ benzene ring เช่นเดียวกับ rutin (รูปที่ 4.16) ดังนั้นคาดว่า caffeic acid สามารถสร้างสารประกอบกับแอนโซไซดานินส์ ซึ่งล่วงผลให้สามารถชลอการลดลงของปริมาณ TAcyl ได้ โดย Maccarone, Maccarrone และ Rapisarda (1985) ศึกษาผลของการใช้ caffeic acid ในการรักษาเส้นเลือดของแอนโซไซดานินส์ในน้ำเย็น และพบว่าการใช้ caffeic acid สามารถชลอการลดลงของปริมาณ TAcyl ทึ้งนืออธิบายได้โดยการเกิด intramolecular complex ระหว่างแอนโซไซดานินส์กับ caffeic acid (รูปที่ 4.19) ทำให้ความไวของแอนโซไซดานินส์ในการทำปฏิกิริยา nucleophilic กับน้ำ หรือสารประกอบอื่น ๆ ลดลง



รูปที่ 4.17 โครงสร้างของสารประกอบระหว่างแอนโซไซยาโนส์กับ rutin
ตามแนวความคิดของ Scheffeldt และ Hrazdina (1978)

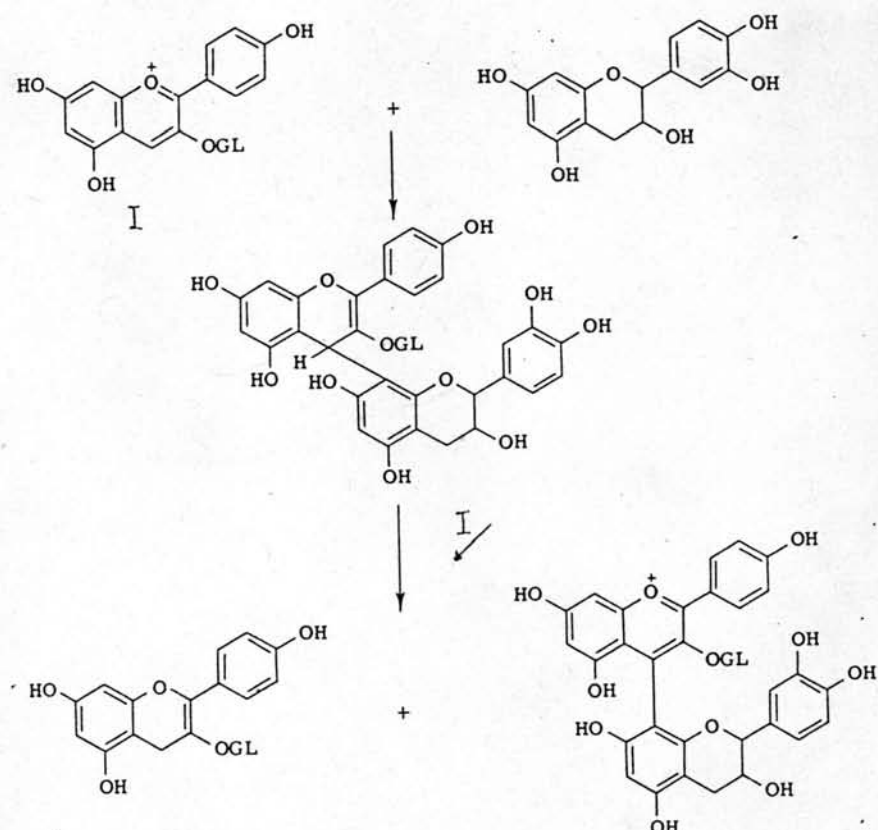


รูปที่ 4.18 โครงสร้างของสารประกอบระหว่างแอนโซไซยาโนส์กับ rutin
ตามแนวความคิดของ Maccarone, Maccarrone และ Rapisarda (1985)



รูปที่ 4.19 โครงสร้างของสารประกอบระหว่างแอนโซไซยาโนส์กับ caffeic acid
ตามแนวความคิดของ Maccarone, Maccarrone และ Rapisarda (1985)

การใช้ (+)-catechin เป็นวัตถุเจือปนในสารละลายน้ำ ก็จะช่วยลดการลดลงของปริมาณ TAcy ได้ เนื่องจากจะช่วยป้องกันการการสลายตัวของแอนโซไซดานินส์ และการเกิดปฏิกิริยา polymerization โดย (+)-catechin สามารถเกิดปฏิกิริยา oxidative condensation กับแอนโซไซดานินส์ ได้ flavene กับ pyrylium salt dimer ปฏิกิริยาที่เกิดขึ้นเป็นแบบ electrophilic substitution ที่ควรบ่น คำแนะนำที่สื่อของแอนโซไซดานินส์ (Jurd, 1967) ปฏิกิริยาที่เกิดขึ้น แสดงค่าคงที่ 4.20 โดยแอนโซไซดานินส์ทำปฏิกิริยากับ (+)-catechin ได้ flavenyl-flavan dimer จากนั้นสารชนิดนี้จะเกิดปฏิกิริยา oxidation กับแอนโซไซดานินส์อีกไม่เลกอนหนึ่งได้ flavylium-flavan dimer ส่วนไม่เลกูลของแอนโซไซดานินส์จะถูก reduced เป็น flav-2-ene นอกจากนี้ flavylium-flavan dimer สามารถทำปฏิกิริยากับแอนโซไซดานินส์ต่อ ทำให้ได้สารประกอบ polymer ที่มีขนาดไม่เลกูลใหญ่ขึ้น



รูปที่ 4.20 ปฏิกิริยา condensation ระหว่างแอนโซไซดานินส์กับ (+)-catechin
(Jurd, 1967)

เมื่อระยะเวลาในการเก็บนานขึ้น จะพบว่าการใช้สารประกอบ phenolics ทำให้ปริมาณ TAcy ในสารละลายน้ำมีค่าลดลง ในขณะที่ปริมาณ PC มีค่าเพิ่มขึ้นอย่างมีนัยสำคัญทางสถิติที่ระดับความเชื่อมั่นร้อยละ 95 (ตารางที่ 4.33 และ 4.35) โดยปริมาณ PC ในสารละลายน้ำมีการใช้สารประกอบ phenolics เป็นวัตถุเจือปน มีแนวโน้มการเพิ่มขึ้นที่สูงกว่าในสารละลายน้ำที่ไม่ใช้วัตถุเจือปน เนื่องจากมีการสร้างสารประกอบระหว่างแอนโซไซตานินล์กับสารประกอบ phenolics ซึ่งสารประกอบที่เกิดขึ้นไม่ถูกฟอกสีด้วย SO_2 จึงทำให้ปริมาณ PC ในสารละลายน้ำมีค่าสูง จากตารางที่ 4.33 จะพบว่าปริมาณ PC ในสารละลายน้ำที่มีการใช้ (+)-catechin เป็นวัตถุเจือปน มีแนวโน้มการเพิ่มขึ้นที่สูงกว่าในสารละลายน้ำที่มีการใช้ caffeic acid และ rutin มาก ทั้งนี้เนื่องจากการใช้ (+)-catechin เป็นวัตถุเจือปนจะทำให้เกิด flavylum-flavan dimer ซึ่งสามารถทำปฏิกิริยากับแอนโซไซตานินล์ต่อ ทำให้ได้สารประกอบ polymer ที่มีขนาดโมเลกุลใหญ่ขึ้น ดังนั้นปริมาณแอนโซไซตานินล์ในรูปอิสระจะลดลง ทำให้ปริมาณ PC ที่วิเคราะห์ได้จากการฟอกสีด้วย SO_2 มีค่าสูง จากตารางที่ 4.34 และ 4.35 พบว่าปริมาณ TCB ในสารละลายน้ำที่มีการใช้ caffeic acid และ rutin เป็นวัตถุเจือปนจะมีค่าลดลงอย่างมีนัยสำคัญทางสถิติที่ระดับความเชื่อมั่นร้อยละ 95 เมื่อระยะเวลาในการเก็บนานขึ้น และเมื่อเปรียบเทียบกับสารละลายน้ำที่ไม่มีการใช้วัตถุเจือปน จะพบว่าปริมาณ TCB ในสารละลายน้ำที่มีการใช้ caffeic acid และ rutin มีแนวโน้มการลดลงที่ช้ากว่าในสารละลายน้ำที่ไม่มีการใช้วัตถุเจือปน ทั้งนี้เนื่องจากการสร้างสารประกอบระหว่างแอนโซไซตานินล์กับสารประกอบ phenolics ช่วยป้องกันการสลายตัวของแอนโซไซตานินล์ได้ ส่วนปริมาณ TCB ในสารละลายน้ำที่มีการใช้ (+)-catechin เป็นวัตถุเจือปนจะมีค่าเพิ่มขึ้นอย่างมีนัยสำคัญทางสถิติที่ระดับความเชื่อมั่นร้อยละ 95 ทั้งนี้เนื่องจากการใช้ (+)-catechin เป็นวัตถุเจือปนจะทำให้เกิด flavylum-flavan dimer ซึ่งสามารถทำปฏิกิริยากับแอนโซไซตานินล์ต่อ ทำให้ได้สารประกอบ polymer ที่มีขนาดโมเลกุลใหญ่ขึ้น และเป็นสารประกอบ polymer ที่มีสี จึงทำให้ปริมาณ TCB ในสารละลายน้ำมีค่าเพิ่มขึ้น

ตารางที่ 4.33 ปริมาณ PC ของสารสกัดจากเมล็ดพืช ซึ่งมีฤทธิ์ต้านเส้นเลือดĩnhในการใช้สารประชุมออกไซฟีโนอลิกส์ phenolics ของทางการแพทย์ทางแผนกวัฒนธรรมไทย

ชนบทเวลai (วัน)	control	วัสดุเจริญอาหาร					
		(มีลักษณะของสารสกัดสาขากิ่ง 100 มิลลิลิตร)			(+)-catechin		
	caffeic acid	rutin					
	40	80	40	80	40	80	
0	0,313+0,004	0,605+0,006	0,524+0,006	0,302+0,008	0,356+0,008	0,301+0,015	0,371+0,001
7	0,320+0,007	0,619+0,008	0,531+0,001	0,344+0,008	0,360+0,005	0,324+0,006	0,548+0,001
14	0,330+0,004	0,648+0,008	0,554+0,006	0,362+0,003	0,372+0,003	0,367+0,004	0,668+0,006
21	0,339+0,005	0,660+0,014	0,568+0,010	0,370+0,003	0,379+0,010	0,389+0,004	0,705+0,003
28	0,341+0,004	0,671+0,006	0,579+0,004	0,374+0,006	0,383+0,005	0,436+0,007	0,811+0,030
35	0,351+0,002	0,682+0,002	0,598+0,008	0,382+0,003	0,386+0,006	0,476+0,017	0,827+0,014
42	0,352+0,001	0,689+0,006	0,605+0,006	0,386+0,014	0,392+0,013	0,482+0,003	0,868+0,012
49	0,353+0,001	0,696+0,012	0,611+0,001	0,415+0,007	0,401+0,003	0,489+0	0,915+0,007
56	0,356+0,004	0,711+0,00	0,628+0,003	0,420+0,008	0,425+0,006	0,498+0,016	0,952+0,022
63	0,359+0,007	0,724+0,005	0,643+0,002	0,433+0,004	0,448+0,004	0,511+0,001	0,965+0,006
70	0,362+0,004	0,750+0,008	0,656+0,008	0,453+0,008	0,449+0,008	0,530+0,003	0,990+0,003
77	0,364+0	0,764+0,003	0,673+0,001	0,465+0,003	0,461+0,007	0,549+0,001	1,010+0,007
84	0,366+0,001	0,778+0,004	0,694+0,006	0,502+0,004	0,475+0,007	0,557+0,006	1,095+0,007
91	0,366+0	0,792+0,003	0,711+0,001	0,514+0,004	0,497+0,006	0,565+0,006	1,124+0,004
98	0,373+0,00	0,801+0,003	0,724+0,006	0,524+0,003	0,507+0,003	0,569+0,001	1,145+0,007

ตารางที่ 4.34 ปริมาณ TCD ของสารลาร์กคอลโน่ในต้นข้าวในการใช้สารประชุมชน phytolices ขนาดการเก็บอย่างหนักของเบื้องต้น

รัฐยะเวลา (วัน)	control	น้ำยาเจือปนอาหาร (มิลลิกรัมต่อสารสูตรละลายน้ำต่ำสุด 100 มิลลิลิตร)					
		caffeiic acid		rutin		(+)-catechin	
		40	80	40	80	40	80
0	0.801+0.004	0.782+0.003	0.758+0.004	0.697+0.012	0.787+0.007	0.726+0.009	0.804+0.008
7	0.798+0.006	0.778+0.006	0.754+0.004	0.695+0.007	0.772+0.003	0.835+0.003	0.964+0.004
14	0.796+0.001	0.773+0.006	0.746+0.001	0.684+0.008	0.757+0.007	0.867+0.017	1.105+0.018
21	0.773+0.004	0.765+0.007	0.743+0.003	0.679+0.012	0.741+0.003	0.889+0.007	1.120+0.008
28	0.760+0.007	0.760+0.007	0.739+0.011	0.651+0.009	0.726+0.001	0.921+0.004	1.195+0.017
35	0.745+0.002	0.755+0.008	0.737+0.009	0.649+0.013	0.705+0.004	0.946+0.008	1.201+0.018
42	0.718+0.006	0.749+0.011	0.735+0.011	0.641+0.006	0.687+0.013	0.968+0.007	1.253+0.018
49	0.690+0.006	0.738+0.002	0.725+0.009	0.633+0.008	0.671+0.002	0.984+0.006	1.270+0.014
56	0.672+0.003	0.737+0.003	0.721+0.004	0.623+0.007	0.666+0.016	1.000+0.007	1.302+0.003
63	0.638+0.008	0.732+0.003	0.711+0.018	0.618+0.010	0.642+0.014	1.015+0.003	1.350+0.018
70	0.624+0.004	0.725+0.006	0.708+0.003	0.600+0.001	0.635+0.010	1.057+0.010	1.368+0.006
77	0.597+0.007	0.717+0.004	0.701+0.003	0.587+0.003	0.632+0.013	1.079+0.006	1.395+0.007
84	0.584+0.005	0.711+0.006	0.698+0.004	0.572+0.004	0.622+0.003	1.101+0.006	1.417+0.014
91	0.568+0.009	0.709+0.007	0.693+0.004	0.563+0.003	0.614+0.006	1.118+0.004	1.426+0.008
98	0.552+0.003	0.699+0.002	0.688+0.007	0.557+0.003	0.600+0.014	1.145+0.006	1.435+0.007

ตารางที่ 4.35 ค่า F จากการวิเคราะห์ความแปรปรวนของ TCD และ PC ของสารละลายน้ำ
แอนโซไซติกันเนลที่มีการใช้สารประกอบ phenolics ระหว่างการเก็บท่อและห้องเย็น

วัตถุเจือปนอาหาร	ปริมาณ (มิลลิกรัมต่อสารละลายน้ำ)	ค่า F	
		100 มิลลิลิตร	TCD
control	-	545.54*	46.89*
caffeic acid	40	51.47*	152.75*
	80	18.12*	273.12*
rutin	40	64.78*	211.64*
	80	90.99*	107.89*
(+)-catechin	40	460.99*	239.34*
	80	419.83*	713.49*

หมายเหตุ

* มีความแตกต่างอย่างมีนัยสำคัญทางสถิติที่ระดับความเชื่อมั่นร้อยละ 95

โดยที่ค่า $F_{(4,15)}$ จากตาราง = 2.43